

VYSOKÁ ŠKOLA STROJNÍ A TEXTILNÍ
nositelka řádu práce

Fakulta strojní

Obor 23 - 20 - 08

Stroje a zařízení pro strojírenskou výrobu

Zaměření : jednoúčelové

Katedra : Obrábění a montáže

RACIONALIZACE KONSTRUKČNÍ PRÁCE VYUŽITÍM SAPO

Jméno autora : Karda Karel

Vedoucí práce : Ing. Přemysl Pokorný, VŠST Liberec

Konzultant : Ing. Wasserbauer, VŠST Liberec

Rozsah práce a přílohy:

Počet stran 61

Počet obrázků 21

Počet tabulek 2

Počet výkresů 7

Počet stran přílohy 7

Počet programů 5

V Liberci dne 4. 6. 1982

Vysoká škola: strojní a textilní
Katedra: obrábění a montáže Fakulta: strojní
Školní rok: 1981/82

ZADÁNÍ DIPLOMOVÉ PRÁCE (PROJEKTU, UMĚLECKÉHO DÍLA, UMĚLECKÉHO VÝKONU)

pro Karla Kereku
obor 23 - 20 - 8 stroje a zařízení pro strojírenskou výrobu

Vedoucí katedry Vám ve smyslu nařízení vlády ČSSR č. 90/1980 Sb., o státních závěrečných zkouškách a státních rigorozních zkouškách, určuje tuto diplomovou práci:

Název tématu: Racionalizace konstrukční práce využitím SAPO

Zásady pro výpracování:

1. Rozbor technické přípravy při návrhu a výrobeni lisovacích nástrojů
2. Studie uplatnění SAPO při nahradě rutinních prací
3. Mórní algoritmu a zpracování dřívějších programů pro výpočty na SAPO
4. Ověření na typovém příkladu nástroje
5. Technickoekonomický rozbor

Autorské právo se řídí směrnicemi
MŠK pro státní zkoušky č.j. 31
727/CO-M/2 ze dne 13. července
1982-Vestník České republiky číslo 24 ze
dne 31. června 1982 Sb.

VYSOKÁ ŠKOLA STROJNÍ A TEXTILNÍ
Ústřední knihovna
LISEZNA 1. STUDIJNÍSKA 5
P-200-400-17

Rozsah grafických prací: 6 výkresů

cca 50 stran textu

Rozsah průvodní zprávy:

Seznam odborné literatury: Kotouč, J.: Nástroje pro tváření za studena
ČVUT Praha
Výpočetní grafika. ČVUT Praha

Vedoucí diplomové práce: Ing. Přemysl Pokorný

Konzultant DP: Ing. Waserbauer

Datum zadání diplomové práce: 15.10.1981 - konečné zadání

Termín odevzdání diplomové práce: 4.6.1982



Doc.Ing. Jaromír Gazda, CSc

Vedoucí katedry

Doc. R.Dr Bohuslav Stříš, CSc

Děkan

v Liberci dne 15.10. 81

"Mistopisecně prohlašuji, že jsem diplomovou práci
vypracoval samostatně s použitím tomuto literatury."

V Liberci dne 4. 6. 1982 Karel Kenda

| | |
|---|----|
| 1. Úvod | 5 |
| 2. Vymezení úkolu diplomové práce | 6 |
| 3. Technické prostředky racionalizace konstrukční činnosti | 7 |
| 4. Současný stav použití počítačů v konstrukci pracovního prostředí a vývojového | 10 |
| 5. Pracovní kongurenční | 13 |
| 6. Metodika konstrukce tažných nástrojů | 17 |
| 6.1 Konstrukce základního typu tažného nástroje | 21 |
| 6.2 Využití součinného počítače při konstrukci tažného nástroje | 26 |
| 7. Metodika návrhu stříknáho nástroje | 33 |
| 7.1 Konstrukce základního typu stříknáho nástroje | 39 |
| 7.2 Využití součinného počítače při konstrukci stříknáho nástroje | 43 |
| 8. Přirazení typizovaného vodicího stojánku výběrem z řady | 45 |
| 9. Volba tvárcího stroje | 51 |
| 10. Ekonomické hodnocení přínosu výpočetní techniky v procesu konstruování | 55 |
| 11. Závěr | 58 |
| 12. Použitá literatura | 60 |
| 13. Prílohy, výkresy, programy | |

1 Úvod

Vědecko-technický pokrok a budování materiálně ekonomické základny rozvinutého socialismu, sebou přináší zvýšené požadavky na rozvoj strojírenské výroby.

Intenzivní rozvoj strojírenství, vyžaduje komplexní racionalizaci na všech stupních výroby, jak v samotné fázi materiálové výroby, tak i ve fázi technické přípravy a ostatních odvětví, které jsou nezbytně nutní pro zajištění chodu výrobního podniku. Jednou z rozhodujících složek technické přípravy výroby je konstrukční příprava a na ní navazující technologická příprava výroby. V těchto oblastech Československo značně pokrokává za světovou špičkou, což ve svém důsledku přináší dleuhé lhůty navádění výsledků vědecko-technické revoluce do průmyslové praxe. Ze závěru XVI. sjezdu KSČ vyplývá, že v 7. pětiletce je třeba zajistit růst průmyslové produkce cestou racionalizace všech oblastí výroby komplexní racionalizací, rozvojem vynálezeckého a zlepšovatelského hnutí současně s ohledem na úsporu energie.

V oblasti konstrukční přípravy výroby je třeba maximálně využívat všech dostupných technických prostředků (samočinných počítačů, kreslících stolů apod.), které napomáhají odstranění rutinní a časově náročné práce konstruktérů. Osobnost funkce konstruktéra se tak přenesla do oblasti tvůrčí práce, kterou nelze jinak nahradit.

2. Vymenování úkolu diplomové práce

Tématem mé diplomové práce je racionalizace konstrukčních prací při navrhování tvářecích nástrojů, využitím výpočetní techniky tj. samočinného počítadla a kreslicího stolu DIGIGRAF. Samotné práce se emenzila na vypracování programů pro samočinný počítadlo, které by zajistovaly propočet tvářecího nástroje, tj. tažníku a tažnic resp. střímků a střímkic, dále by potom zajistovaly přiřazení typizovaných dílů. Výběrem z typevých řady jež se skládá ze stejných vyráběných u nás a odpovídajících norm ČSN a dále potom výběr vhodného použitelného stroje z domácí produkce, výběrem z řady podle základních požadovaných parametrů tj. potřebné tvářecí síly, velikosti návětu a pracovního prostoru stroje.

Tváření jako takové patří k nejvýregresivnějším způsobům při výrobcování výrobků z kovů, plastických hmot, pryže apod. Dosážení předepsaného tvaru se ude děje nejkratší a nejekonomičtější cestou, to vede ke značnému zvýšení produktivity práce. Například při tvářecích způsobech jako je zápuštové kování, tažení nebo vytlačování dochází k výrobě daných součástí se značnou úsporou materiálu oproti klasické třískové technologii, dále ke značnému snížení výrobního času a též k úspore energie, což je v současné době velmi uvaldhanou otázkou při současném stavu energetických zdrojů nejen u nás, ale i v celém světě.

Nevýhodou tvářecích nástrojů je jejich ekonomická náročnost oproti nástrojům pro klasickou třískovou technologii hlavně u hlediska slevitosti tvaru, nároku na kvalitu materiálu, výrobní přesnosti a chemicko-teplotního úpravu. To způsobuje, že tvářecí nástroje jsou podstatně dražší než nástroje pro klasickou třískovou technologii, z toho plyne i hlavní sféra jejich využití ve velkoseriové nebo hromadné výrobě.

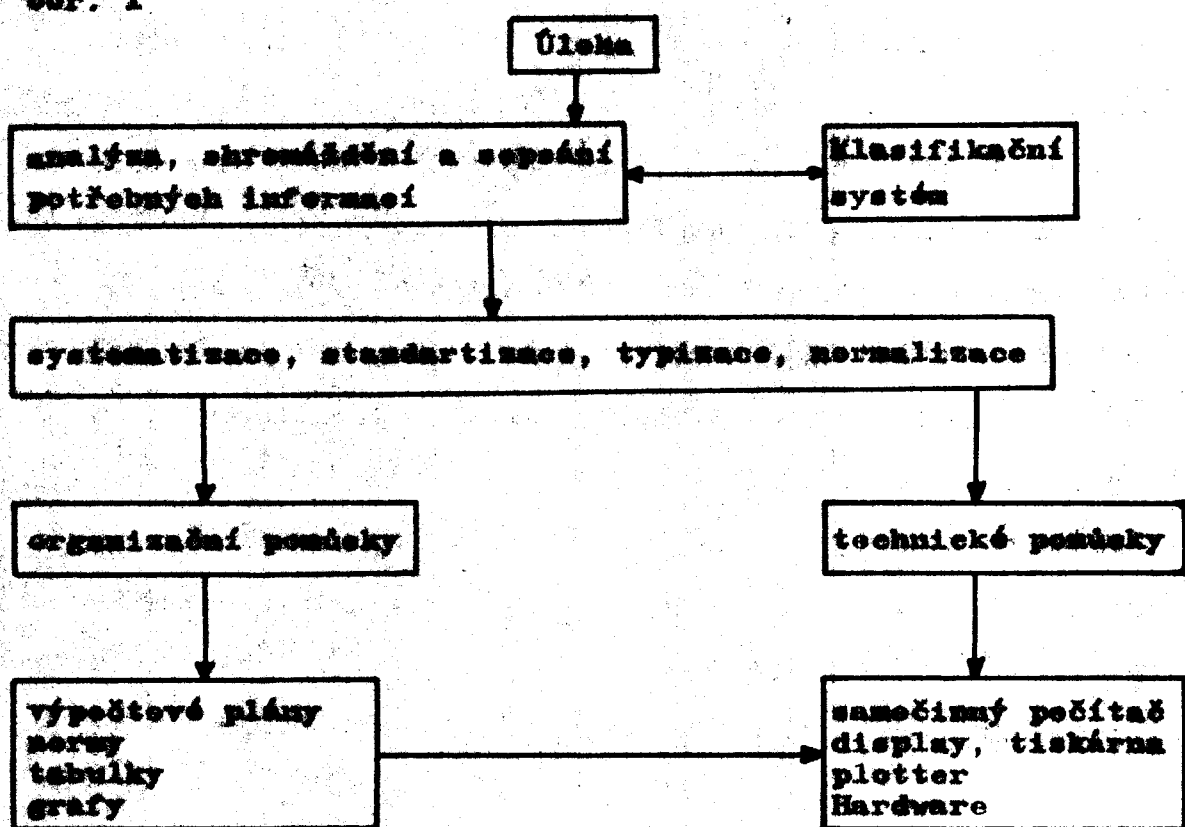
Při konstrukci tvářecích nástrojů pro výrobní operace tažení a stříhaní, je funkce konstruktéra úzce omezena na rutinní návrh tvarově podobných nástrojů lišících se pouze malou některých rozměrů nebo kvality spracovávaného materiálu. Tuto rutinní práci je možné přenést samočinnému počítači, který by tuto operaci pomocí známých empirických vztahů byl schopen sám provést bez zásahu tzv. lidáckého faktoru, který je navíc velmi často zdrojem chyb. Na výstupu ze samočinného počítače bývají dostali návrh rozměrů nástroje a klavnu jeho funkčních částí, díle potom děrnou pásku nebo děrné štítky pro vstupní periferii kreslicího stolu DIGIGRAF, kde by došlo k makrosnímání výrobků výkresů tažného nebo stříhaného nástroje. Mimo to by zde byl danému tažníku atažniči resp. střížničku a střížniči přiřazen typizovaný vedici stužmek a tvářecí stroj, výborem se zadáná řada. A v neposlední řadě by bylo možné získat děrnou pásku pro numericky řízený obráběcí stroj, na kterém by bylo možné daná tažidla resp. stříhadla zhodnotit.

3. Technické prostředky racionální konstrukční činnosti

Moderní způsob konstruování je zugeben stále více využívat nových netradičních materiálů (plastické hmoty, sklo, keramika apod.), ale i nových netradičních metod, jak v oblasti samotných konstrukcí výrobků, tak i ve způsobu konstruování. S tím nedilně souvisí využití výpočetní techniky, jež si však vyžaduje splnění určitých předpokladů a vytvoření jistých podmínek. Je třeba vytvořit klasifikační systém, úlohu typizovat a dále přeformovat grafické a textové informace do číslicové formy.

Obecné schéma postupu řešení konstrukční úlohy - obr. 1

obr. 1.



Klíčovým bodem rationalizace je samočinný počítač, který je vybaven několika druhy komunikačních zařízení, jak na vstupu, tak i na výstupu.

Zařízení pro vstup informací :

- dálkovětiskové přístroje (štítky nebo pásky)
- klávesnicové registry
- čtecí souřadnicové stroje
- ohrazenovka s příslušenstvím
- film, magnetická páska

Zářízení na výstupu (spracování výsledků) :

standardní tiskárna, rychlotiskárna

tiskárna se zvláštními řetězci

číslicové písací kreslicí stoly (plottery)

alfanumerické zařízení

kreslicí automaty a přesné kreslicí stroje

obrazovka (display)

film

Pro spracování informací v grafickém vyjádření slouží obrazovky (display) a číslicové písací kreslicí stoly (plottery).

Při použití obrazovky může konstruktér konverzovat se samostatným počítačem. Povrch obrazovky nahrazuje konstruktérovi skicář nebo rýzevací pruh. Na obrazovku si může z paměti počítače vyvolat uložené geometrické prvky nebo normalizované součásti a výsledný obrázec následnou syntézou elementárních obrazců. Opravy a korekce jak výsledného obrázce tak i elementárních obrazců uložených v paměti počítače, může konstruktér provádět pomocí světelného pera.

Světelným perem lze provádět :

technické znaky na výkresech

popisovat výkresy

měnit měřítka

doplňovat pomocné údaje

Převratim jsou rozšířeny pouze dvojrozměrné uprasy ze zobrazení na obrazovce. Jsou však využívány i trojrozměrné systémy zobrazení, ty jsou však nezvykovatelně ekonomicky náročnější, proto je jejich použití pouze ojedinělé.

Početata světelného půra tkví v tom, že katodové paprsky obrazovky se mění v elektrické impulzy, které jsou vedeny k samoříznacímu počítání. Na jedno řídící centrum je možné napojit i více obrazovek, to však vyžaduje větší kapacitu paměti.

Číslicově fixem kreslicí stoly (plottery) mohou být ve dvou základních provedeních :

a) elektromechanické 2000 ± 13000 kroků s^{-1}

b) elektronické $300\ 000$ kroků s^{-1}

U elektromechanických kreslicích stolů se jedná o křížový pojedoucí mechanickým náhodem od krokového metru (1 krok = $\approx 0,1 \pm 0,05$ mm tom se realizuje posunem rotačního reteru o jistý odpovídající délkou).

Krokový můstek se otočí o 1 krok na základě 1 impulsu.

Elektronický kreslicí stůj je číslicově fixem osciloskop s frekvencí $300\ 000$ kroků s^{-1} .

Obrázek se získá z elektromechanického paprsku na obrazovce. Kreslicí stoly všeobecně vyžadují velkou kapacitu paměti samořízných počítaců.

4. Současný stav použití počítačů v konstrukci a technologii strojírenství

V 50. a 60. letech téhoto století byla věnována hlavní pozornost intenzivnímu vývoji prostředků a metod mechanizace a automatizace, které zvýšily produktivitu fyzické práce člověka až automatickou.

Mendí pověrnost byla však věnována zvýšení produktivity práce v oblasti dnučné práce člověka, což bylo podmíněno nedostatečným znečatvím a stupňem vývoje technických prostředků,

pro řešení těchto úloh. Důsledkem tohoto vývoje bylo vytvoření disproporce mezi vysokou dřevní produktivity práce v oblasti základní výroby a nízkou dřevní technické přípravy a řízení výroby. Dle průzkumu ve Velké Británii se ukázalo, že zatímco ve výrobě stoupala produktivita o 1000 % od roku 1900 konstrukční produktivita vzrostla pouze o 20 %. Z toho vyplývá omezení pro průběžnou dobu zhodovení výrobků.

V současné době je kladen důraz na intenzifikaci racionálních opatření v oblasti konstrukce a přípravy výroby.

Vývoj v posledních 10 letech učinuje zvýšení problémů automatizace intenzívých prací. V nahranici bylo vytvořeno několik výsoco produktivních systémů automatizace konstrukce. V USA například firmu " Masseng " spracovala automatizovaný systém projektování. Systém na 10 sec. zhodoví světoviny kopí výkresů, vytiskne specifikace k textu a potřebné informace ke zhodovení jednoduchého projektu. Dle dostupných informací společnosti lze projekt, který dříve trval 6 měsíců nyní spracovat během 2 dnů.

Institut Massachusetts I.T. vytvořil systém " Sketctped ", kde je zahajována zpětná vazba mezi konstruktem a strojem. Konstruktor může vizuálně kontrolovat postup výpočtu, zavádět potřebné změny do návrhu v průběhu výpočtu pomocí vstupních zadání.

Firma " Ford - Motors " spracovala systém s několika počítači, kreslícím stolem a displayem se světelným perem, jehož cílem je zkrácení doby na konstrukci automobilu až 3krát. Rovněž firma " IBM " spracovala systém pro navrhování a modelování vnitřních tváří karoserie automobilu.

Dále má spracován systém pro návrh, výpočet a syntézu roviných mechanismů (klesáků, vaček, esabéných kol) nazývaný " COMMAND ".

V Maďarsku je využíván program pro technické a ekonomické výpočty konstrukce stříhacích nástrojů. Na systém je napojena kompletní příprava výroby aktivních částí střihadel a postprocesor pro zpracování řídící pásky pro NC stroje.

Všechny uvedené systémy jsou dosti mákladné a vyžadují složité a náročné vybavení technickými prostředky.

Současně se zpracováním konstrukčních systémů se používají počítače na indenýrské výpočty například parametrů klikového mechanismu či rozber napětí jedno až trojrozměrných konstrukcí.

Projektováním a využitím počítačů se zabývá např. středisko " CAD " při univerzitě Cambridge, nebo pro obráběcí " DOPER " - NSR, který rozděluje projektování do následujících tří etap :

- 1) definice požadované koncepce a výkonu
- 2) analýza požadavků z hlediska sestavení programu pro SAPS
- 3) porovnání dosaženého výsledku s požadavky 1. etapy a cílem vytvoření optimální koncepce

Využití SAPS dle uvedených příkladů a z informací, zasahuje značnou šířku prací a někde je propracováno do značné hloubky.

U nás dosavadní stav neodpovídá potřebám a možnostem průmyslu. Tento stav je zaviněn jednak vysokými pořizovacími náklady na zařízení a dále nedostatkem určitých technických prostředků (vhodných kreslicích zařízení, obrazovek se světelnými pery) a i malou informovaností a technickou nepřipraveností pracovníků technické přípravy.

Na vysokých školách, ve výzkumných ústavech a v některých velkých podnicích jsou zpracovány různé dílčí programy k výpočtu povrchovním či dynamickým apod..

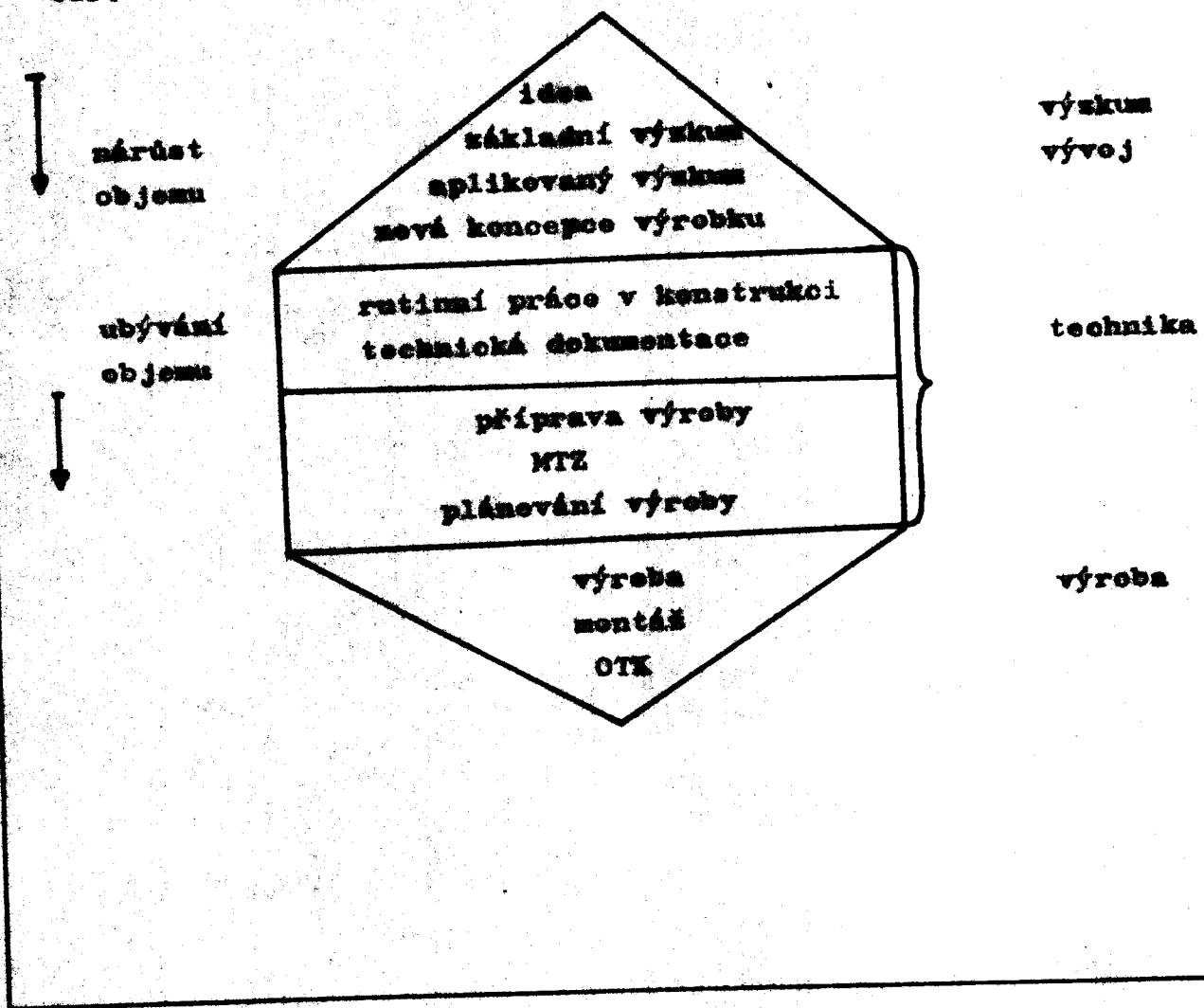
3. Proces konstruování

Proces konstruování je neodmyslitelně spojen se zdrojem konstrukčních informací, což jsou např. archivní materiály, normy ČSN, sestavy, detailní výkresy apod. Všechny informace se během konstruování neustále mění a doplňují, do dokumentů se zapisuji formou vzorek, textů, grafů apod..

Při konstruování pomocí SAPO je třeba tyto informace přeformovat do strojového jazyka počítačního stroje. Uvnitř systému tyto informace představují zápis na nosném mediu programu (děrnaté pásové, děrnaté křítky, magnetické pásky apod.).

Obecnou lze cestu vzniku výrobku od ideje až po realizaci popsat následujícím schématem - obr. 2

obr. 2



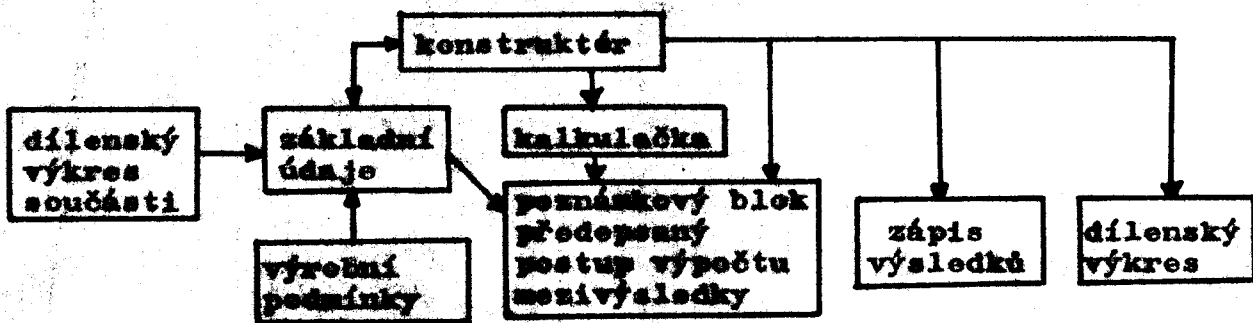
Obdobná je i situace ve výkresu a konstrukci nových nástrojů. Při návrhu nového nástroje má konstruktér obvykle k dispozici výkres požadovaného výrobku a navrhuje nástroj na jeho zhotovení. Z dílenského výkresu může čerpat základní údaje o tvaru, rozměru, tolerancích a materiálu výrobku atd..

Při konstruování musí konstruktér řešit řadu úkolů :

1. určit základní síly, zvolit vhodné materiály
navrhnut tvar a polohu pracovní části
2. dle technologických podmínek určit potřebné
tolerance pomocné a upínací části
3. dimenzovat a kontrolovat důležitost části
u hlediska pevnosti a tuhosti
4. nakreslit dílenský výkres nástroje, určit
předpisy pro technologický postup výroby,
zakotovat rozměry a určit technické požadavky

Model této činnosti konstruktéra ukazuje následující
schema - obr. 3

obr. 3

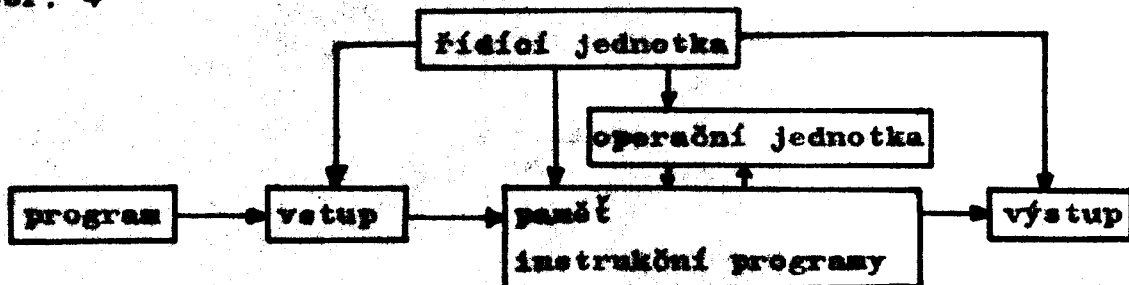


Konstruktér při konstruování přemísťuje základní
údaje do poznámkového bloku, pomocí matematických vzorců
a rovnic vytváří postup řešení čili algoritmus výpočtu. postup-
ně realizuje ručně, mezivýsledky zapisuje do bloku (paměť)
a po vhodné úpravě zaznamenává výsledek.

Podebnou pracovní a logickou stavbu je možné zjistit i v práci SAPO. Místo bloků se užívá paměť, která obsahuje i předpis postupu výpočtu. Přenos vstupních hodnot zajišťuje vstupní jednotka, konečné výsledky dává vstupní jednotka.

Model činnosti počítače je dán v následujícím schématu - obr. 4

obr. 4



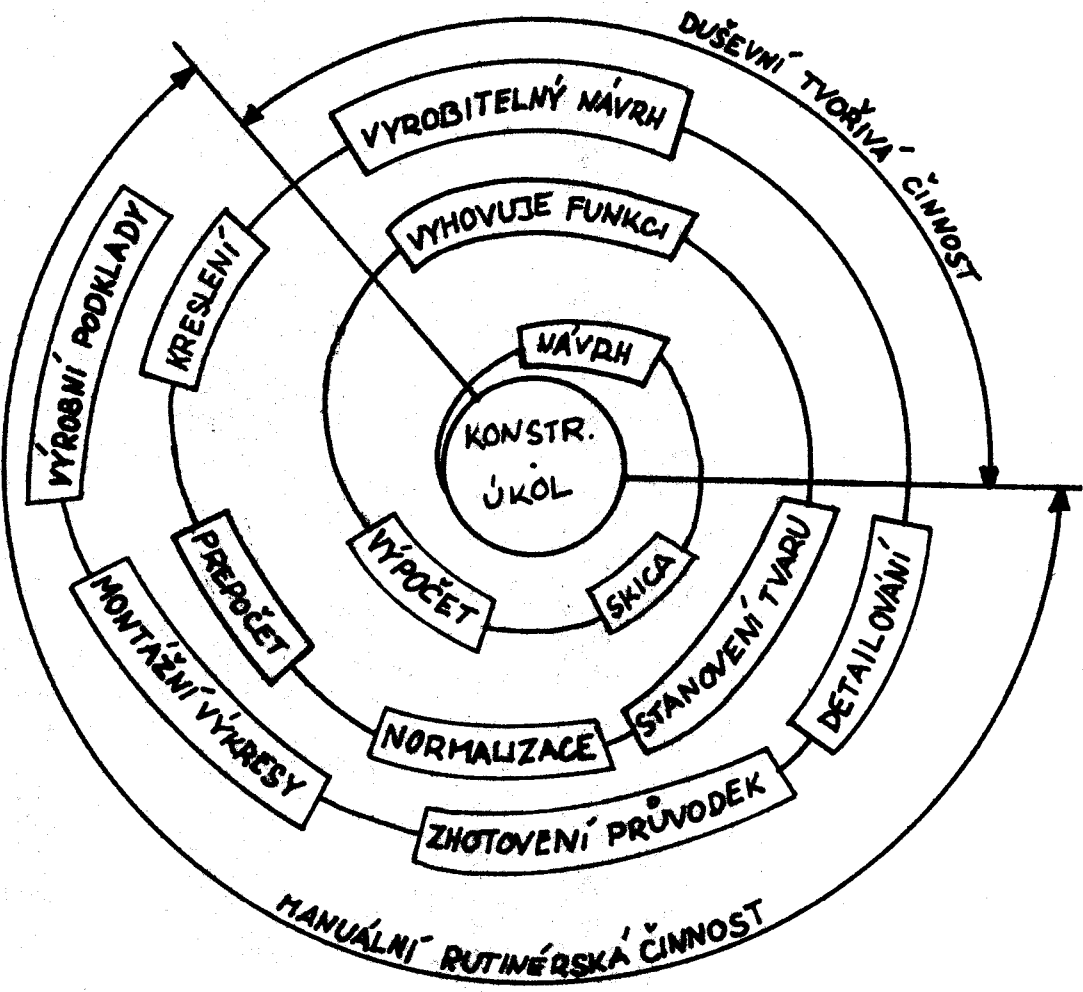
Proces vlastní konstrukce nástrojů lze rozdělit na dvě etapy :

1. Zpracování výpočtu spojených s výpočtem aritmetických a logických operací.
2. Nakreslení dílenského výkresu.

Analýza konstruktérské činnosti z hlediska psychologie vede k poznatku, že se v ní krátkodobá tvůrčí činnost střídá s delšími obdobími víceméně manuální či jednoduché činnosti s výrazně rutinním charakterem.

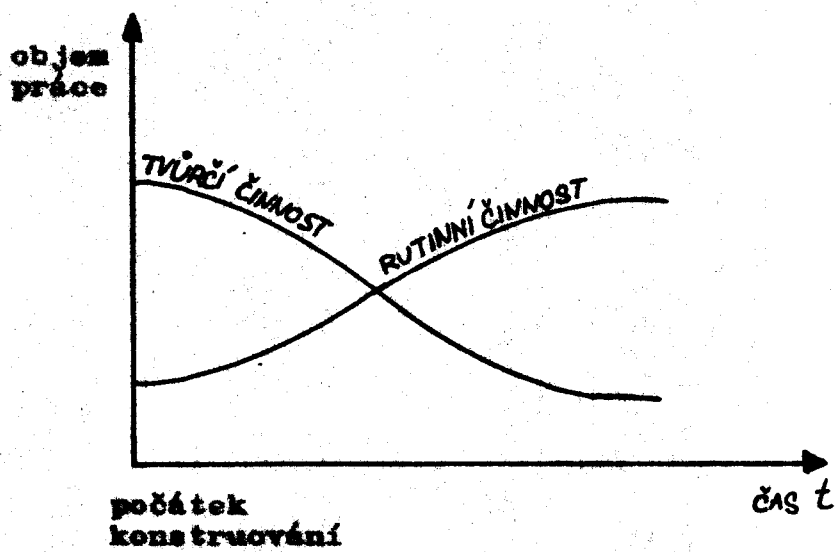
Z hlediska možnosti nasazení samičinných počítačů do konstruování má nejisté mikro analýza konstrukčního procesu. Graficky ji lze znázornit následující spirále - obr. 5

obr. 5



V uvedeném grafu lze rozdělit konstrukční proces na krátkodobé časové úseky a te tvůrčí činnosti vystřídané namuální činností. Objem jednotlivých prací v závislosti na čase ukazuje graf - obr. 6

obr. 6



Vzhledem k tomu, že určitá oblast rutinních prací má logickou posloupnost a je popsatelná matematickým, geometrickým či jiným symbolickým jazykem, lze vytvořením vhodných podmínek tuto činnost provést na SAPO a tvůrčí činnost ponechat na konstruktérovi.

6. Metodika konstrukce tažných nástrojů

Při stanovování metodiky konstrukce tažného nástroje je třeba nejprve analyzovat vlastnosti a zákonitosti konstrukce tažných nástrojů jako globálního systému. Výsledkem toho je přechod od jednotlivých pouček k určení zákonitosti konstrukce.

Při procesu tažení dochází ke změně tvaru materiálu jeho tažením přistříku (rondelu) tažníkem přes tažnou hranu tažnice.

Na obr. 7 je znázorněn přístříh materiálu pro vytažení kruhovité nádoby na něm jsou znázorněny dva typy ploch z hlediska tažného procesu. Obdélníkové plochy reprezentují rozvinuté části válcové stěny nádoby, trojúhelníkovité části reprezentují materiál, který je při tažení přemisťován, současně v radiálním i tangenciálním směru. Přemisťování materiálu je způsobeno složitou plastickou deformací v přírubě a zvláště na tažní hraně během tažení. Materiál trojúhelníkovitých ploch způsobuje :

1. prodloužení výšky výtažku
2. zvětšení tloušťky stěny válcové části výtažku

Nárůst tloušťky stěny lze obecně vyjádřit vztahem

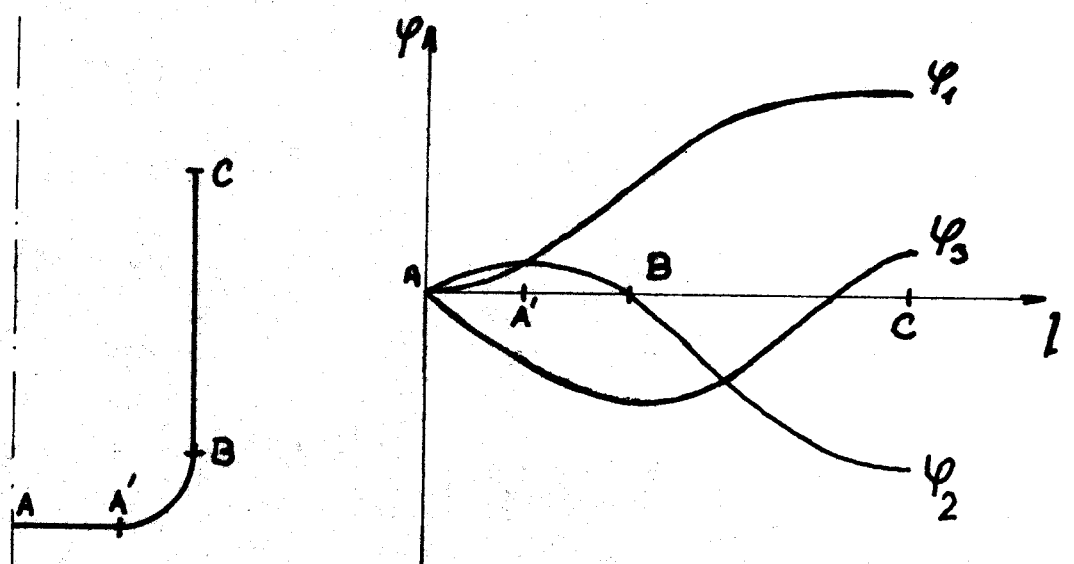
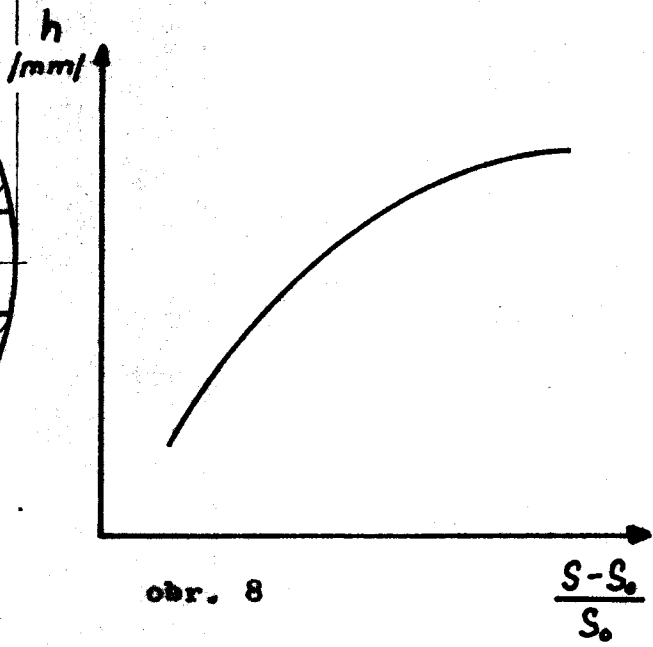
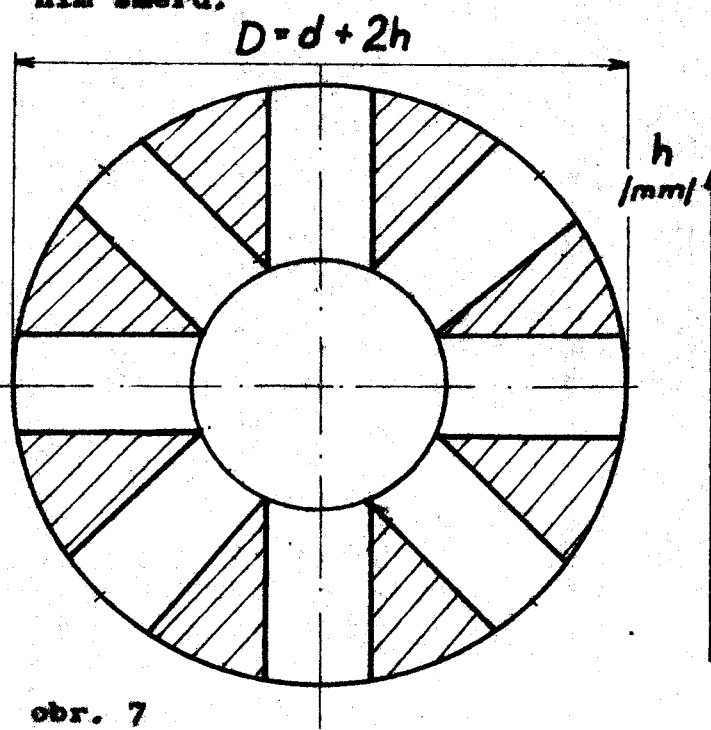
$$s_1 = s_0 \cdot \sqrt{\frac{D}{d}} \quad / \text{mm} /$$

kde s_1 je nově vzniklá tloušťka stěny, s_0 je původní tloušťka materiálu, d je průměr dna výtažku a D je průměr přístříhu. Rozdělení přírustku tloušťky stěny je závislé na výšce výtažku, toto je obecně dáno právě vlivem trojúhelníkovitých přebytků materiálu rondelu, jež je nutno přemisťit, možný průběh je znázorněn na obr. 8. Kromě uvedených změn dochází ještě k zeslabování tloušťky materiálu na přechodu mezi dnovou a válcovou částí výtažku. Toto zeslabení závisí na rozdělení logaritmických deformací. Pro logaritmické deformace vycházíme ze vztahu :

$$\varphi_1 + \varphi_2 + \varphi_3 = \delta \quad \text{kde } \varphi_1 = \ln \frac{dr}{d_0}$$

$$\varphi_3 = \ln \frac{dr}{d_0}$$

Dle obr. 9 v úseku A - A' není na čele pozorována žádná deformace. V plánu A' - B je pozorováno největší zoslabení tloušťky plechu na s_{\min} , podle logaritmické deformace $\varphi_3 = \varphi_1 - \varphi_2$, od bodu φ_3 prudce stoupá, což značí nárůst napětí σ_3 , směrem k bodu C je intenzivní přechování materiálu v tangenciálním směru.



V případě tažení mělkých nádob je nárůst tangenciálního napětí malý a nezpůsobuje další deformace. U vysokých nádob, při tzv. hlubokém tažení, tangenciální napětí nabývá kritických hodnot a může v přírubě způsobovat tvarbu vln. Tvorba vln závisí na vzdálenosti pevnosti materiálu, tj. odporu proti vybočení z roviny přírubby. Vzdálená pevnost se stanovuje podle volné délky profilu a jeho štíhlosti. Jestliže bude uvažována volná délka profilu přibližně $L = (1/2) \cdot \pi D$, bude vzdálená pevnost záviset na štíhlosti, závislé na tloušťce plechu, zda bude docházet k tvorbě vln či ne. Čím bude tloušťka plechu větší, tím bude náchylnost k tvorbě vln menší. Vznik vln v přírubě způsobuje podstatný zvrat tažné síly a může upasobit utržení dna výtažku. Tvorbu vln je tedy nutno co nejvíce omezit, toto se provádí použitím přidržovače. Jeho použití značně komplikuje konstrukci nástroje. Použitím přidržovače se zkracuje volná délka profilu a jeho použití je vymezeno několika kriterii. Pro postupové tažení se používá hodnota koeficientu tažení $M = d/D$, jenž pro použití přidržovače je $0,85 \pm 0,9$. Pro použití předržovače je rozhodující i tloušťka plechu, kterou zahrnujeme ve výpočtu minimální hloubky výtažků (dle Achlera)

$$h \geq 0,3 \cdot \sqrt[3]{d^2} \cdot \sqrt{s_0}$$

nebo stanovení koeficientu dle

$$\alpha \approx 100 \cdot \frac{d}{D} \geq 50 \cdot \left(a - \frac{\sqrt{a}}{\sqrt{D}} \right)$$

kde $a = 1,9$ pro hlubokotažení ocel a $a = 2$ pro hliník.

Z hlediska přidržovače je důležitá i velikost potřebného přidržovacího tlaku, která je závislá na relativní tloušťce a na koeficientu tažení.

Jednotkový přidržovací tlak lze určit dle vztahu :

$$p = (0,2 \div 0,3) \cdot \left[\left(\frac{1}{M} - 1 \right)^3 + 0,5 \cdot \frac{d}{100 \cdot s_0} \right] \cdot G_{pt}$$

Směrné hodnoty přidržovacího tlaku pro různé materiály jsou :

| | | |
|------------|----------------------|----------------------------------|
| měkká ocel | $s < 0,5 \text{ mm}$ | $2,5 \div 3 \text{ N mm}^{-2}$ |
| měkká ocel | $s > 0,5$ | $2 \div 3,5 \text{ N mm}^{-2}$ |
| mosaz | | $1,5 \div 2 \text{ N mm}^{-2}$ |
| měď | | $1 \div 1,5 \text{ N mm}^{-2}$ |
| hliník | | $0,8 \div 1,2 \text{ N mm}^{-2}$ |

Nezávisle na tom, zda tlak přidržovací začíná působit se začátkem tažení anebo až s vlivem uvětšení tloušťky přírubky. Musí však působit před okamžikem počátku tvorby vln.

6.1 Konstrukce základního typu tažného nástroje

Pro konstrukci samotného typového tažného nástroje je třeba znát tvar, rozměry, materiál a jeho mechanické vlastnosti, tloušťku plechu a kvalitu povrchu zhotovení součásti. Dále je třeba znát výrobní technologii a strojní vybavenost v neposlední řadě též ekonomickou efektivnost výroby dané součásti tažením. Potom je nutno stanovit následující základní data pro návrh tažného nástroje :

- a) tvar a velikost přistřihu
- b) bude-li použito předržovače
- c) počet tažných operací a jejich odstupnění
- d) poloměry tažných hran

- c) tažné výle
- f) přitlačnou silu přidržovače
- g) tažnou силу a práci
- h) druh lisu

Při návrhu tažného nástroje musíme mít stanovena následující data průměr výtažku - d_v

výška výtažku - h_v

radius dna - r_d

tloušťka plechu - t_p

materiál výtažku

ad a) Při určování velikosti přistřiku rotačních nádob vycházíme z pravidla rovnosti ploch. Pro malá zaoblení ploch, tj. pro $r_d = (3 \div 8) t_p$

$$Dr = \sqrt{d_v^2 + 4 \cdot d_v \cdot h_v} \quad / \text{mm} /$$

$$\text{pro } r_d = 8 \cdot t_p$$

$$Dr = \sqrt{d_v^2 + 4 \cdot d_v \cdot (h_v + 0,506 r_d)} \quad / \text{mm} /$$

výpočtem hodnoty velikosti přistřihu se zvětšuje 1,5 až 5 % z důvodu odstranění cípatosti a kvalitního odstřížení konečného výtažku.

ad b) Pro zajištění nutnosti použití přidržovače je možné vycházet ze vztahu pro minimální hloubku výtažku

$$h_v \geq 0,3 \cdot \sqrt[3]{d_v^2 \cdot t_p} \quad / \text{mm} /$$

nebo podle koeficientu

$$\frac{d_v}{D_F} \cdot 100 \geq 50 \quad (z - \frac{t_p}{\sqrt{D_F}}) = \alpha$$

kde je m - materiálová konstanta, jež je pro ocel - 1,9
Při splnění daných nerevností je nutno použít přidržovače.

ad c) Počet tažných oprací je závislý na druhu, mechanických vlastnostech a kvalitě povrchu taženého materiálu, dále pak na rozměrech a členitosti tažené součásti a konečně na provozních podmínkách a druhu užitého technologického zařízení.

Celkový koeficient tažení je součinem koeficientů odstupňování tahů

$$M = m_1 \cdot m_2 \cdots \cdots \cdots m_n$$

Odstupňování tahů se zajišťuje dle vzorce

$$d_1 = m_1 \cdot D_r \quad /mm/$$

kde m_1 dle ČSN 22 7301 pro 1 tahu je $(0,55 \div 0,65)$
pro hlubokotažný plech, při tažení rotačních nádob s přidržovačem jej lze vypočítat ze vztahu

$$m_1 = \frac{(55 \div 65) + 0,015 D_r}{100}$$

pro další tahy se odstupňování vypočítá dle vztahu

$$d_n = m_n \cdot d_{n-1} \quad /mm/$$

kde je dle ČSN $m_n = (0,75 \div 0,85)$ a pro tažení rotačních nádob s přidržovačem z hlubokotažného plechu jej lze vypočítat dle vztahu

$$m_n = \frac{(75 \div 85) + 0,019 d_{n-1}}{100}$$

Hodnoty koeficientů tažení jsou však dle ČSN rovněž tabulovány v závislosti na tloušťce plechu a kvalitě tvářeného materiálu.

ad d) Poloměr tažné hrany pro ocelové hluboketažní plechy se vypočítá dle vztahu:

$$r_1 = 0,8 \sqrt{(D_p - d_1) \cdot t_p} \quad / \text{mm} /$$

pro další taky se stanovuje se vztahem

$$r_n = 8 t_p \quad / \text{mm} /$$

ad e) Mezi tažníkem a tažnicí se vždy navrhoje tažná vůle, jejž může být větší než tloušťka plechu

$$m_t = t_p + k \cdot \sqrt{10 t_p} \quad / \text{mm} /$$

kde pro ocelové plechy $k = 0,7$

Výpočet rozměrů hlavních funkčních částí nástroje, tj. tažníku a tažnic se provádí dle empirických vztahů.

Délka tažníku pro 1. tak

$$l_{tl} = \frac{D_p}{4} \left(1 - \frac{d_1^2}{D_p^2} \right) + 50 \quad / \text{mm} /$$

pro druhý a další taky

$$l_t = \frac{1}{4d_n} (d_{n-1}^2 - d_n^2) + 50 \quad / \text{mm} /$$

Průměr tažníku pro první a následující taky kromě posledního

$$d_{tl} = d_1 \quad \text{případně} \quad d_{tn-1} = d_{n-1} \quad / \text{mm} /$$

průměr tažníku pro poslední tak

$$d_{tn} = d_v - 2t_p \quad / \text{mm} /$$

Poloměr tažné hrany tažníku

$$r_{tk} = r_d + 5 \quad / \text{mm} /$$

Pro výpočet tažnice se užívá vztah:

Výška tažnice pro první tah

$$h_{p1} = \frac{D}{4} \cdot (1 - m_1^2) + 20 \quad /mm/$$

průměrný a další taly

$$h_{pn} = \frac{1}{2 \cdot m_t} \cdot (d_{n-1}^2 - d_n^2) + 20 \quad /mm/$$

Průměr tažnice pro první a další taly s výjimkou posledního.

$$D_{p1} = d_1 + 2 \cdot t_p + 2 \cdot m_t \quad /mm/$$

resp.

$$D_{n-1} = d_n + 2 \cdot t_p + 2 \cdot m_t \quad /mm/$$

pro poslední tah

$$D_n = d_n + 2 \cdot m_t \quad /mm/$$

Průměr nachlání tažnice odpovídá předem vypočtenému poloměru tažné kroužky.

ad f) Velikost přidržovací síly přidržovače vypočteme ze vztahu

$$F_p = S \cdot PMP \quad /N/$$

kde S je plocha přidržovače, kterou vypočítáme ze vztahu

$$S = \frac{\pi \cdot R_p^2 - (d_{t1} + 2 \cdot r_{t1})^2}{4 \cdot 10} \quad /mm^2/$$

a PMP je přidržovací tlak, který volíme 3 MPa

ad g) Při výpočtu celkové tažné síly se uvažují též síly na přidržovači, vyhazovači a též samotná tvářecí síla. Síla na přidržovači byla vypočtena v závěrečném bodě.

Síla na vyhazovači je závislá na konstrukci samotného vyhazovače, je-li konstruován pružinový vyhazovač je závislá na tuhosti a stlačení pružiny, pracuje-li vyhazovač jako stěrač potom je síla na vyhazovači, při určování tažné síly, malová, neboť je zde využena vratným chodem beranu lisu. Hlavní tažná síla je závislá na průměru výtažku, tloušťce plechu a mechanické pevnosti materiálu.

$$F_{tm} = \pi \cdot d_n \cdot t_p \cdot k \quad / N/$$

kde k je konstanta závislá na mechanické pevnosti materiálu a na poloměru tažné hrany.

$$k = 0,5 \text{ G}_{\text{pt}} / \text{MPa} / \quad \text{pro malé } r_n$$

$$k = 0,7 \text{ G}_{\text{pt}} / \text{MPa} / \quad \text{pro velká } r_n$$

potom celková tažná síla je součtem dílčích působících sil

$$F_{tc} = F_t + F_p + F_v \quad / N/$$

Výpočet tažné práce je závislý na tažné síle a výšce výtažku

$$A_t = k \cdot F_t \cdot h_v \quad / J/$$

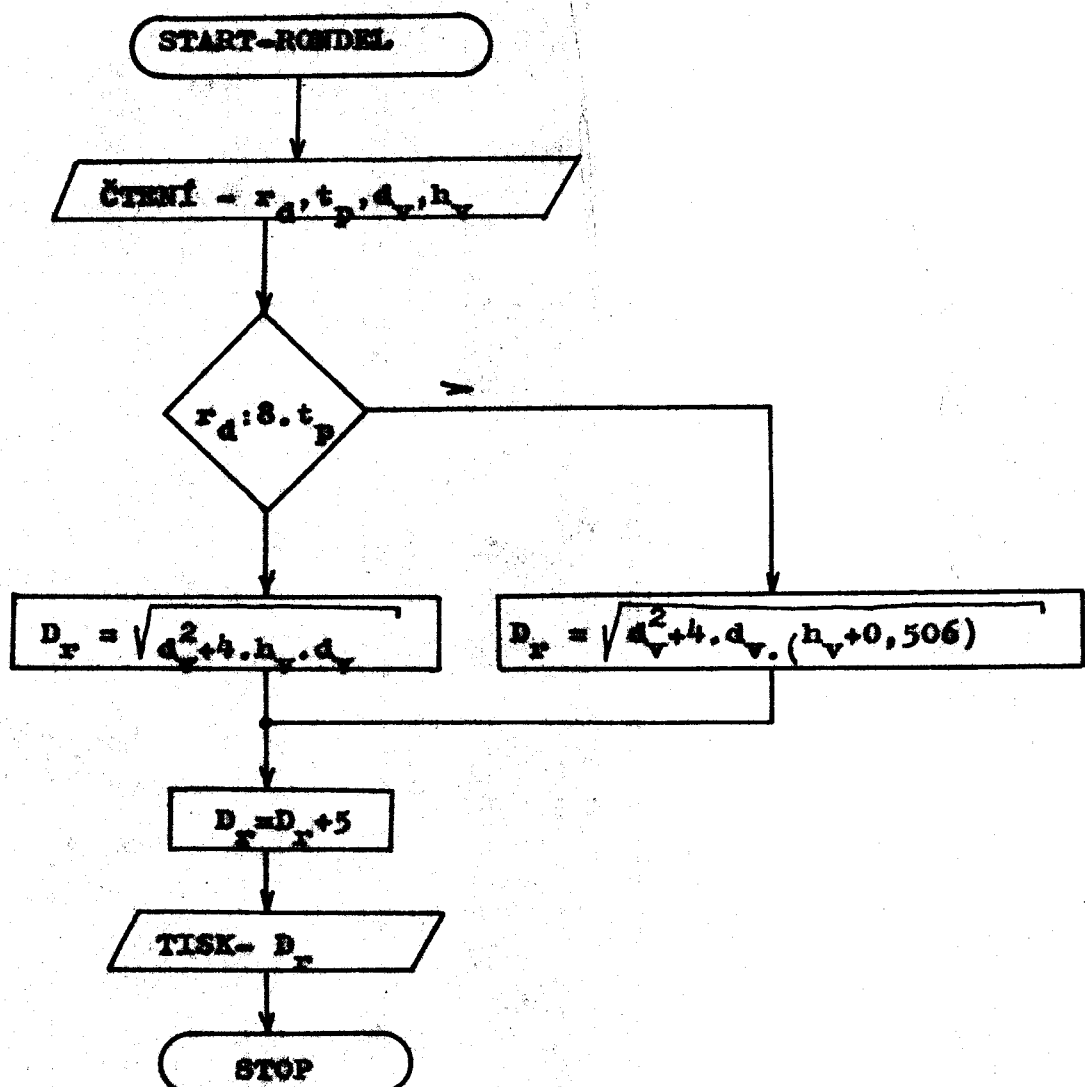
kde $k = (0,6 \div 0,8)$ je koeficient závislý na koeficientu tažení m .

6.2 Využití osobního počítače při konstrukci tažného nástroje

Využití osobního počítače při konstruování tažných nástrojů pro rotační nádoby je velice výhodné, protože se jedná o současnosti tvarově velice podobné. Proto je snadné nalézt empirické vztahy pro výpočty a konstrukci tažných nástrojů.

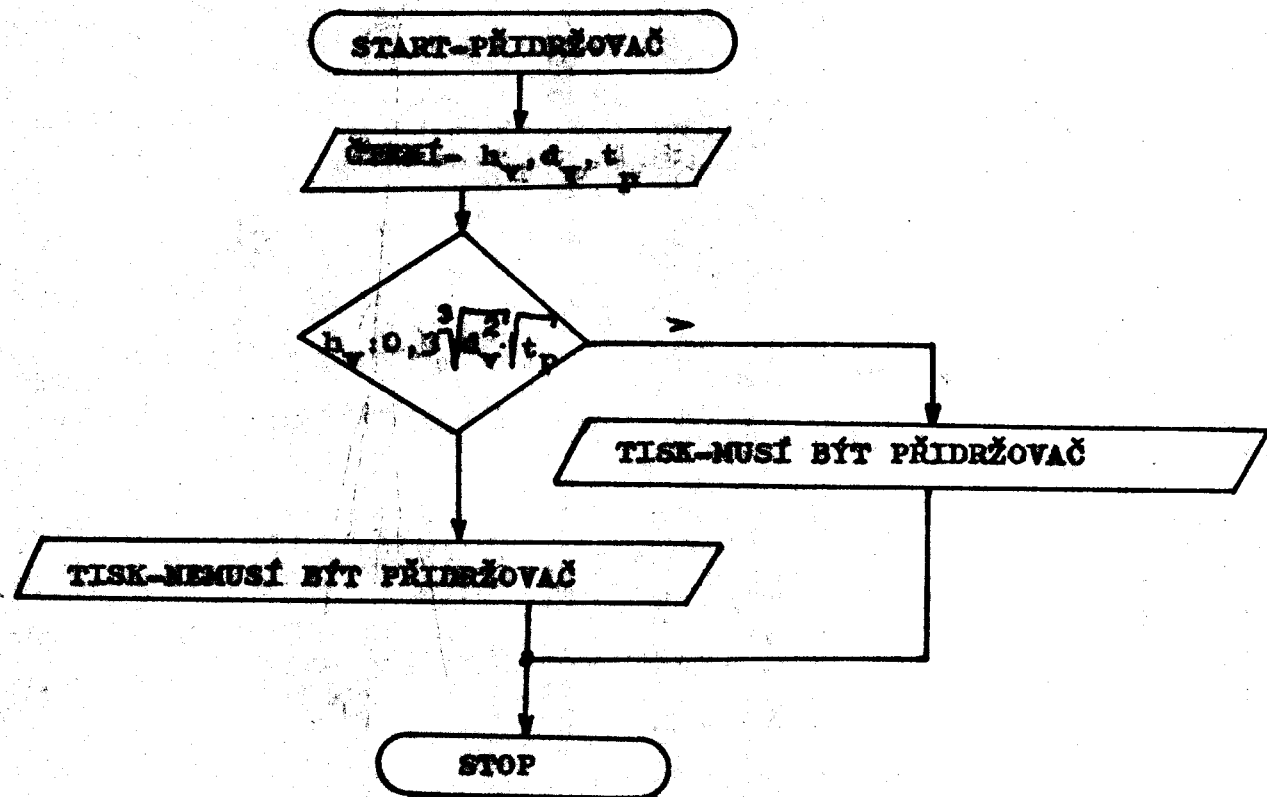
Proto je nutné převést postup konstrukce nástroje do vývojového diagramu, tj. podkladu pro následné programování do programovacího programu FORTRAN. Pro zjednodušení celkového programu je možné některé dílčí etapy převést na podprogramy.

Podprogramy : RONDEL (schema 10) se zabývá určením velikosti přistřihu. V první fázi je třeba porovnat, zda je nutno při výpočtu uvažovat, zasobení dnevné části výtažku, tj. volba výpočetního vztahu a dále potom obsahuje samotný výpočet velikosti přistřihu a nakonec světlení ronduelu z důvodu odstranění cípatosti a oštřízení okraje.



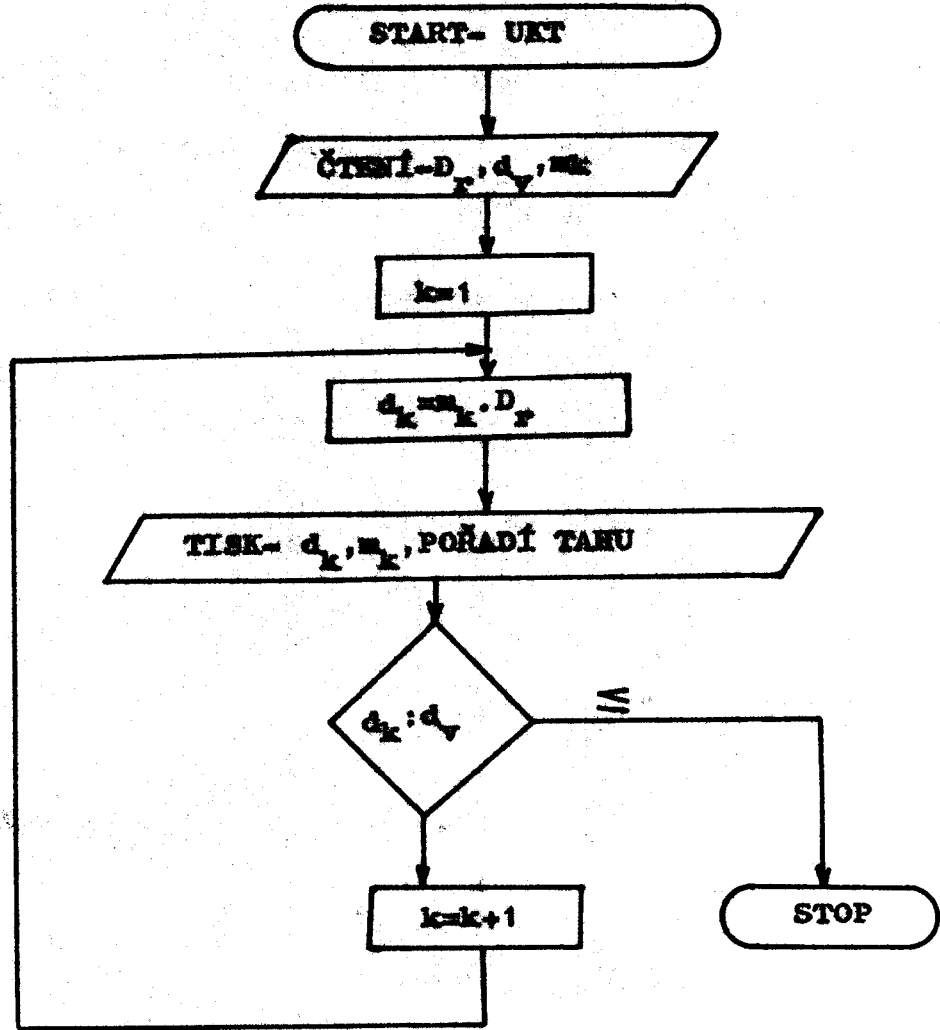
schema 10

PŘIDRŽOVAČ (schema 11) zajišťuje rozhodnutí, zda bude či nebude nutné použít přidržovače, základem je rozhodovací blok, který vychází ze vztahu pro minimální hloubku výtažku .



schema 11

Dále potom je to řídící program UKT (schema 12), jehož úkolem je určit počet tažných operací, koeficienty tažení a průměry předtažků.



Program BLOK (schema 12) zajišťuje výpočet ostatních dat pro konstrukci tažného nástroje tj. rozměrů tažníků, tažnic, výpočet tažných sil, tažné práce, tažných vůl atd.

START-BLOK

ČTENÍ - $n, D_p, m_p, r_d, t_p, d_1, \text{PMR}, d_{pk}, \sigma_{pt}$

$k=1$

$$r_{pk} = 0,8 \sqrt{(D_p - d_1) \cdot t_p}$$

$$m_t = t_p + 0,7 \cdot \sqrt{10 \cdot t_p}$$

$$l_{tk} = \frac{\pi}{4} \cdot (1 + m_t^2), 50$$

$$d_{tk} = d_{pk}$$

$$x_{tk} = r_d + 5$$

$$h_{pk} = \frac{\pi}{4} \cdot (1 - m_1^2) + 20$$

$$d_{pk} = d_{pk} + 2 \cdot t_p + m_t$$

TISK - $r_{pk}, l_{tk}, m_t, d_{tk}, x_{tk}, h_{pk}, d_{pk}$

(3)

$k=k+1$

$k=n$

$$d_{tk} = d_{pk} - 2t_p$$

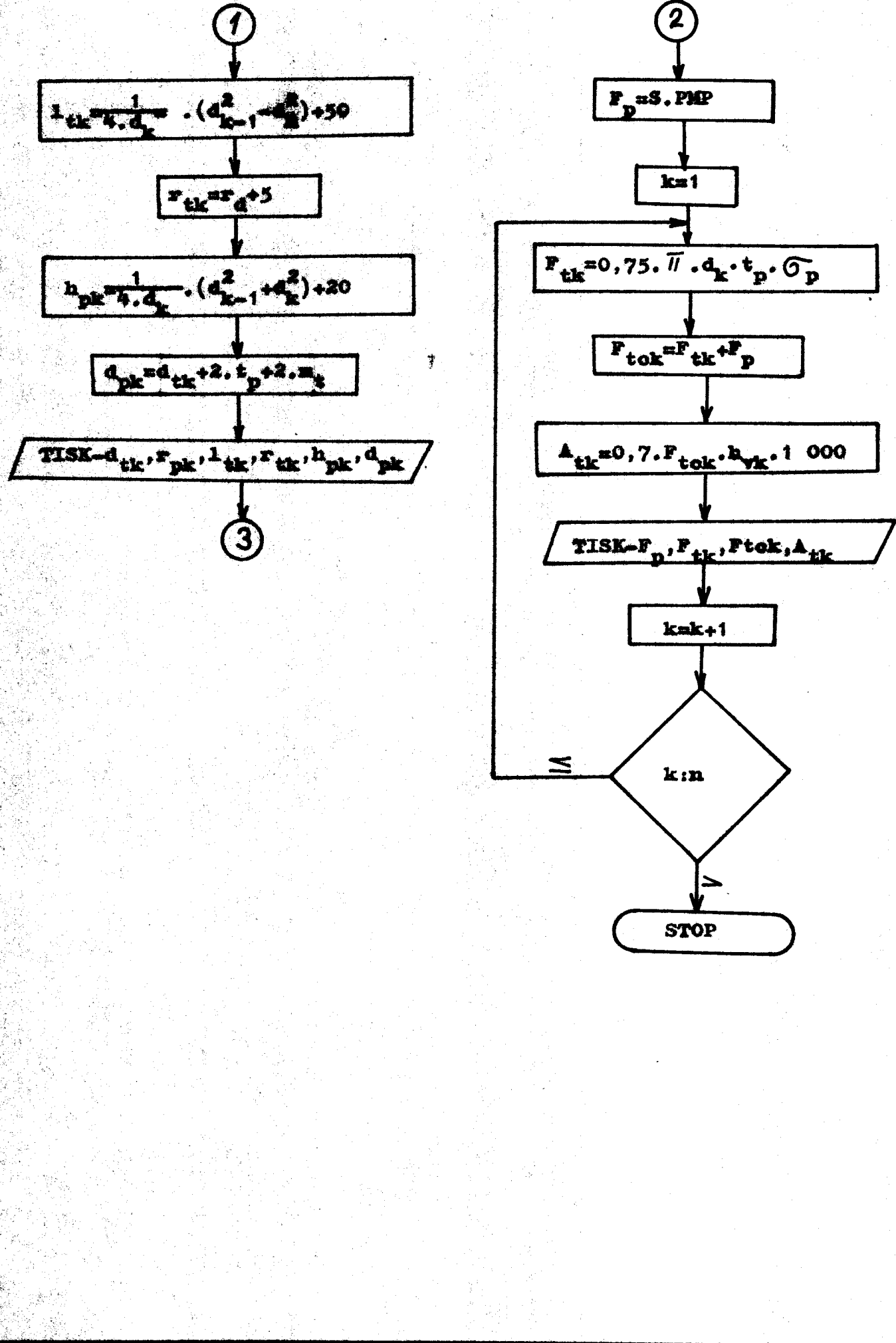
$$d_{tk} = d_{pk} - 2 \cdot t_p$$

$$x_{pk} = 8 \cdot t_p$$

$$S = \frac{\pi}{4 \cdot 10^6} \cdot / D_p^2 - (d_{tk} + 2r_{tk})^2$$

1

2



Na tento hlavní výpočtový program navazují ještě další programy, které mají sloužit na pomoc kreslicího stolu DIGIGRAF na kreslení výrobních výkresů a tisk kusovníků tažného nástroje, jak vyplývá ze schématu 13.

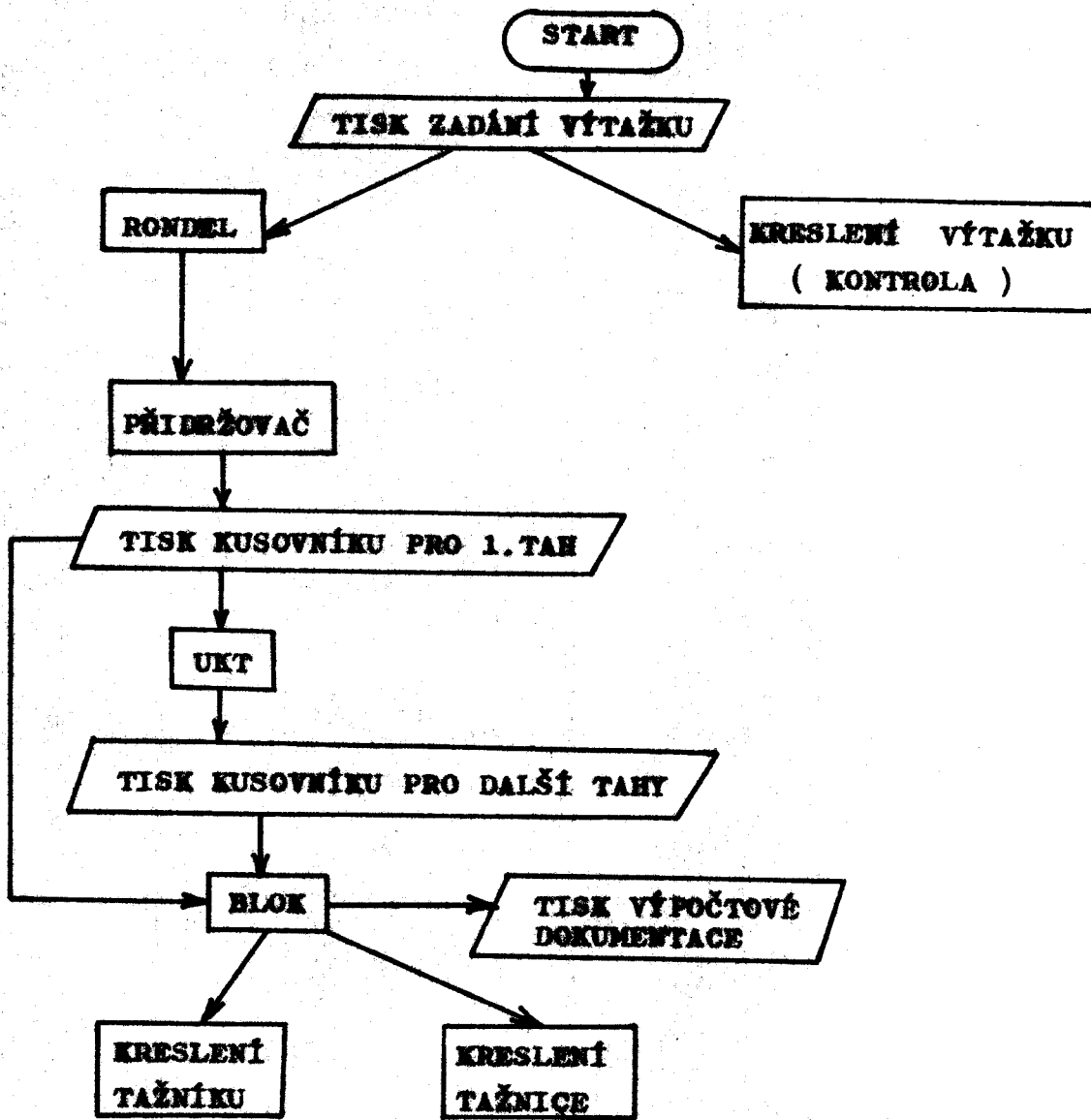


Schéma 13

V příloze jsou obsaženy hlavní výpočetové programy tj. programy RONDEL, PŘIDRŽOVAC, UKT, BLOK.

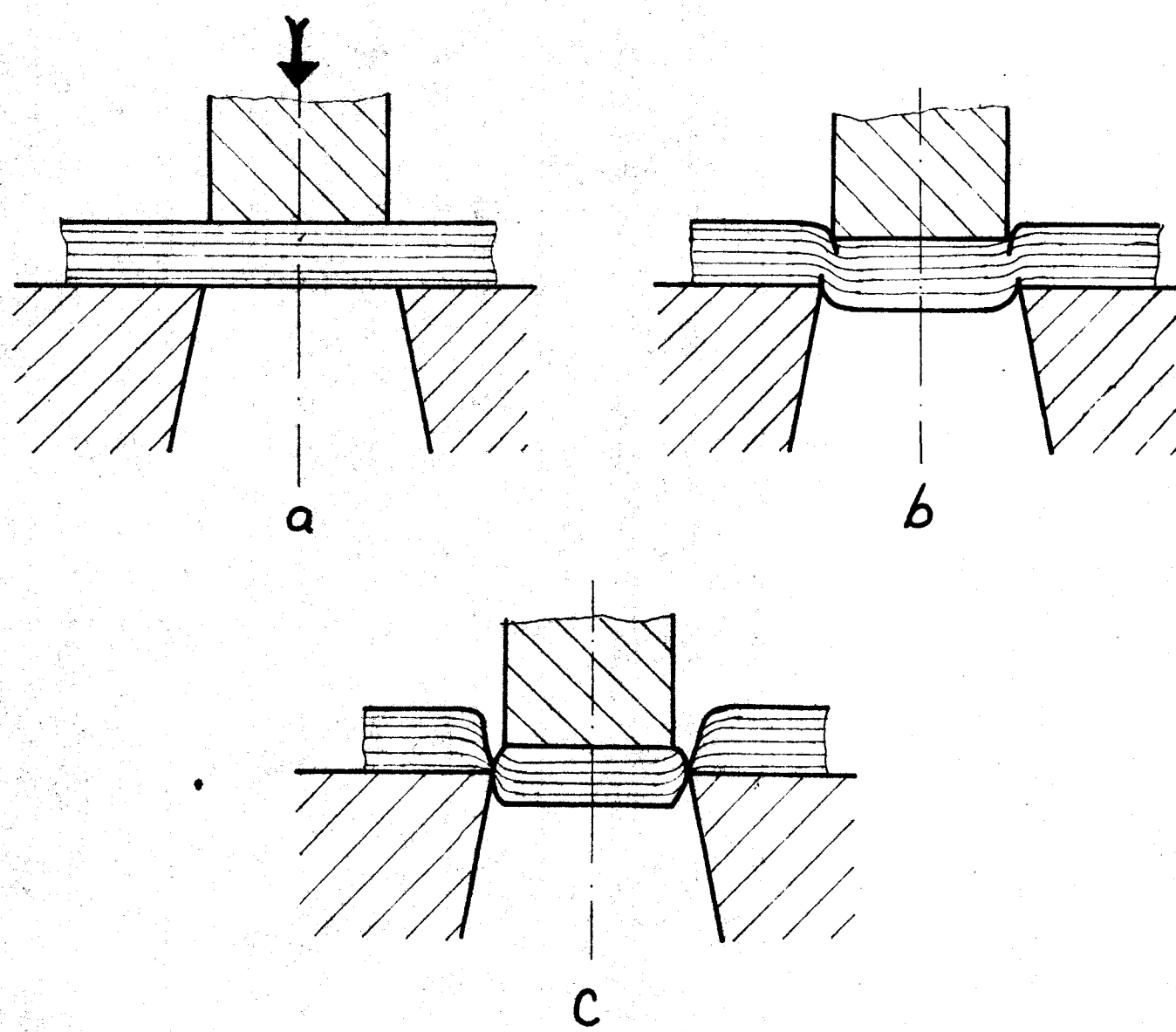
Jako hlavní (fidiční) programy zde vystupují program UKT, jenž obsahuje jako podprogramy programy RONDEL a PŘIDRŽOVAC, dále je samostatný program BLOK. Tyto programy zahrnují výpočtovou část konstrukce, konstruktér zde pouze zadává potřebná vstupní data pro konstrukci nástroje. Do samotného výpočtu nezasahuje. Dále příloha obsahuje výpočet a výkres vzorku tažného nástroje.

7. Metodika návrhu střížného nástroje

Stříhaní je postupné nebo současné oddělování materiálu podél plochy, jež je obvykle kolmá k povrchu materiálu. Používá se k němu nůžek a stříhacích nástrojů resp. prostříhovadel. Částice materiálu oddělují ve třech za sebou následujících fázích :

- a) první fáze v níž nastávají pružné deformace, materiál se pružně stlačuje a ohýbá, je lehce vtlačován do otvoru průstřížnice a napětí ve stříhaném kovu nepřesahuje mez pružnosti materiálu (obr. 14a).
- b) druhá fáze, v níž nasávají trvalé deformace, kov se vtlačuje do otvoru průstřížnice a vlákna kovu se značně ohýbají. Napětí v kovu přesahuje mez kluzu a stále stoupá až k hodnotě pevnosti ve střihu daného materiálu. Největší smykové deformace směřují po kluzných plochách, které začínají u střížných hran. Vtlačení nožů do materiálu závisí na tvrdosti a tvárnosti kovu a je 20 až 50 % tloušťky plechu (obr. 14b).

c) třetí fáze, v níž vznikají trhliny, tyto trhliny se rychle rozšiřují ve směru smykových napětí, což má za následek odělení jedné části materiálu od druhé (obr. 14c).



obr. 14

Při konstruování stříšných nástrojů je třeba klást zřetele na to, aby tvar a uspořádání výstřížek umožňovalo co nejvýhodnější technologický postup stříhání, aby výroba byla co nejjednodušší a nejhospodárnější.

Technologičnosti konstrukce, rozumíme takový souhrn konstrukčních prvků, který zaručuje co nejjednodušší a nejekonomičtější výrobu při daném stupni sériovosti, přičemž se musí dodržet technické a provozní požadavky kladené na výstřížky.

Ukazateli technologičnosti prestříhaných součástí jsou :

1. Co nejmenší spotřeba materiálu
2. Co nejmenší počet a pracnost operací
3. Taková přesnost provedení, aby se výstřížek po zhotovení již nemusel obrábět
4. Co nejmenší množství potřebného strojního zařízení a výrobní plochy
5. Co nejmenší počet náradí, nejmenší náklady a nejkratší lhůty na přípravu výroby
6. Zvýšení produktivity jednotlivých operací v dílně
7. Co největší trvanlivost střížných nástrojů

Dále potom je nutno respektovat tyto technologické požadavky :

1. Je nutno se vyhýbat tvarům s dlouhými a úzkými výčnělkami na obrysů nebo s příliš úzkými zářesy (šířka zářezu má být větší než dvojnásobná tloušťka plechu).
2. Výstřížky nesmějí mít ostré hrany na vnitřním obrysů, poloměry zaobljení mají být $r = 0,5 t_p$
3. Hrany na vnějším obrysů mají mít zaobljení jen tehdy, když se současně vystřihuje po celém obrysů. Při nástríku bez odpadu mají být hrany ostré.
4. Dlouhé a úzké součásti s neproměnnou šířkou $b \leq 3 \cdot t_p$ je lépe vyrábět zplňováním drátu
5. Při děrování volným, nevedeným průstřížníkem je nejmenší průměr díry d dán povrství v tlaku G_{pd} materiálu průstřížníku. Střížná síla musí být vždy menší než maximální možný tlak, který snese průstřížník

$$d = \frac{4 \bar{\tau}_{ps}}{\sigma_{pd}} \cdot t_p \quad / \text{mm} /$$

Průstříňníky malého průřezu se musí kontrolovat na vzděrnou pevnost, aby se nezlomily. Ze základního vzorce

$$F = \frac{\frac{\pi^2}{4} \cdot E \cdot J}{l^2} \quad / \text{N} /$$

dostaneme po dosažení střížného tlaku vztah pro maximální volnou délku průstříňníku

$$l \leq \sqrt{\frac{\frac{\pi^2}{4} \cdot E \cdot d^3}{64 \cdot \bar{\tau}_{ps} \cdot t_p}} \quad / \text{mm} /$$

kde E je modul pružnosti v tahu /MPa/

d je průměr stříňníku /mm/

$\bar{\tau}_{ps}$ je pevnost stříhaného materiálu /MPa/

t_p je tloušťka plechu /mm/

Jestliže délka průstříňníku nevyhovuje musíme použít průstříňník osazovací, jeho větší průměr potom vypočteme ze vztahu

$$d = \sqrt[3]{\frac{L^2 \bar{\tau}_{ps} \cdot t_p \cdot 64}{\pi^2 E}} \quad / \text{mm} /$$

kde L je požadovaná délka průstříňníku /mm/

6. Nejmenší vzdálenost od okraje díry k vnějšímu obrysu se má rovnat tloušťce plechu, mení-li okraj díry rovnoběžný s okrajem pásu, a nejméně $1,5 \cdot t_p$, je-li rovnoběžný.
7. Na poloměrech zaoblení ohnutých součástí namají být díry, aby se jejich tvar při ohýbání neperušil.

Jedním z nejdůležitějších kriterií pro určování technologičnosti konstrukce střížného nástroje je kriterium úspory materiálu, úsporu ovlivňuje nástřihový plán. Při navrhování nástřihu je třeba dbát, aby se materiálu co nejvíce využilo, aby lisování bylo hospodárné. Několikanásobná prestřihovadla, která obvykle lépe využívají materiálu, jsou dražší než jednonásobná. Čím větší je množství vyráběných výstřížků, tj. ve velkoseriové a hromadné výrobě, tím větší výnam má úspora materiálu na jednu součást. Při hromadné výrobě malých výstřížek se má používat pásového materiálu. Při navrhování nástřihového plánu musíme uvažovat též zbytkový materiál mezi jednotlivými výstřížky, tzv. můstky, které nám umožní dokonalé vystřížení součásti a odstraní možnost zaklínování střížníku a střížnice vlivem vniknutí materiálu do mezery mezi střížníkem a střížnicí. Určení velikosti můstku závisí na tloušťce zpracovávaného materiálu a určíme ji ze vztahů :

$$\text{pro } t_p \leq 1,5 \text{ mm}$$

$$m = 3,7 - \sqrt{6,51 - t_p (t_p - 0,4)} \quad / \text{mm} /$$

$$\text{pro } t_p > 1,5 \text{ mm}$$

$$m = 0,57 t_p + 0,6 \quad / \text{mm} /$$

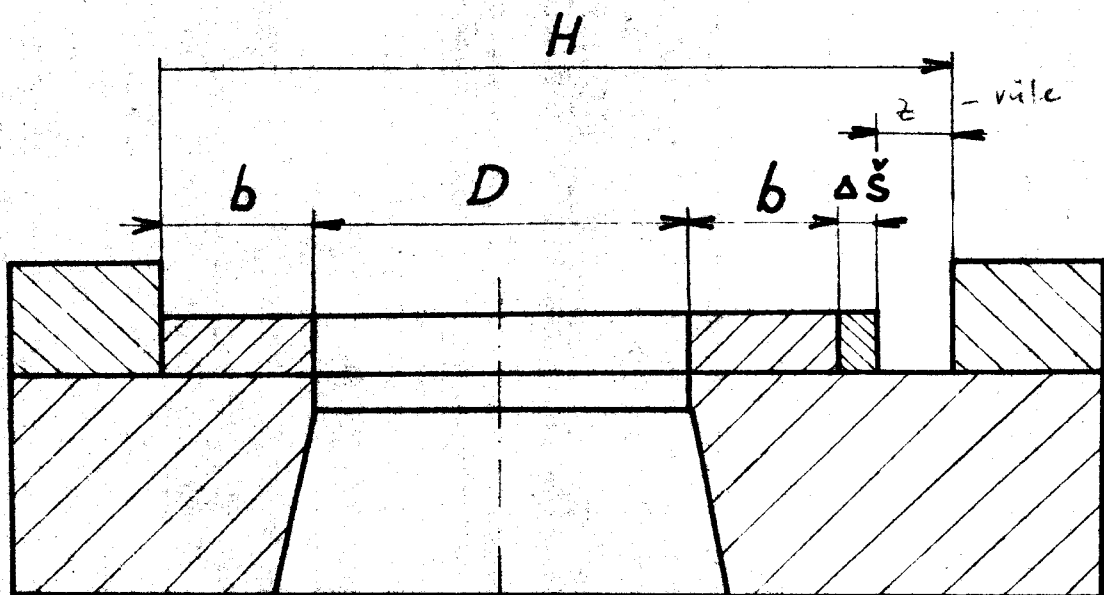
Vedení pásu ve střížném nástroji je zajištěno pomocí postranních vedlejších lišt. Vzdálenost mezi lištami (obr. 15) zjistíme dle vztahu :

$$H = D + 2b + \Delta b + z \quad / \text{mm} /$$

kde D je průměr prestřihovaného otvoru $/ \text{mm} /$

b je velikost postranního můstku závislá na způsobu podávání pásu a toleranci šířky pásu $/ \text{mm} /$

Δs je jednostranná toleranca šířky pásu /mm/
z je maximální šířkou pásu je H /mm/ b vnitř.



obr. 15

Důležitým kritériem technologienosti konstrukce je vztah pro určení využití materiálu, tj. zjištění koeficientu hospodárnosti nástřiku

$$k_{fn} = \frac{S_0}{B \cdot h} \cdot 100 \% \quad (1)$$

kde S_0 je plocha součásti včetně malých otvorů /mm²/

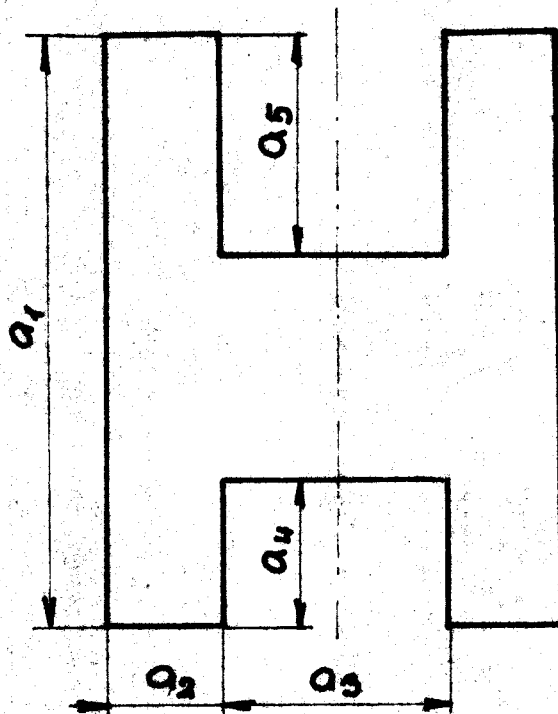
h je posuv pásu pro jeden zdvih listu /mm/

B je šířka pásu zjištěná ze vztahu

$$B = D + 2b + \Delta s \quad /mm/$$

7.1. Konstrukce nákladního typu stříšného nástroje

Prvním krokem při konstrukci stříšného nástroje resp. jeho nákladních částí je zjištění délky stříšné čáry, při prostříhování obvodu výstřížku. Vycházíme ze zadaných údajů pro zvolenou součást (obr. 16) to jsou rozměry :



obr. 16

$a_1 : a_2 : a_3 : a_4 : a_5$ / mm /

tloušťka pláchu t_p / mm /

zaručená vále mezi lištou a pásem δ / mm /

požadovaná bezpečnost na prostřílení k

povrch materiálu ve smyku T_{ps}

Výpočet obvodu součásti se provede dle vzorce :

$$L = a_1 + a_2 + \dots + a_n \quad / \text{mm} /$$

v našem případě

$$L = 2a_1 + 4a_2 + 2a_3 + 2a_4 + 2a_5 \quad / \text{mm} /$$

v případě, že některá část obvodu je kruhová nebo částí kruhu, určíme její délku, dle známého vztahu :

$$a_1 = 2\pi \cdot \frac{\alpha}{360} r_1 \quad / \text{mm} /$$

kde r_1 je poloměr kruhového oblouku a úhel α je úhel sevřený krajinami vláknem oblouku.

Dále je nutno spočítat limitující hodnoty pro tvorbu nástříkového plánu tj. velikost minimálního můstku :

pro $t_p \leq 1,5 \text{ mm}$

$$m = 3,7 - \sqrt{6,51 - t_p (t_p - 0,4)} \quad / \text{mm} /$$

pro $t_p > 1,5 \text{ mm}$

$$m = 0,57 t_p + 0,6$$

vzdálenost mezi lištami, kdy v našem případě za D dosadíme vzdálenost $a_1 + a_2$ a za b velikost můstku m , v tom případě je vzdálenost mezi lištami rovna

$$H = a_1 + 2m + a_2 + z \quad / \text{mm} /$$

Určení potřebné střížní síly při stříhání s rovnoběžnými noži se provádí podle vztahu :

$$F = k \cdot L \cdot t_p \cdot \tau_{ps} \quad / \text{N} /$$

kde k je bezpečnost se kterou dojde k prostřížení materiálu.

Výpočet tažné práce se provádí dle vztahu :

$$A = F \cdot h \quad /J/$$

kde h /m/ je hloubka vniknutí průstřížníku v okamžiku, kdy se oddělují částice. Při správné výli mení střížníkem a střížničí je h rovno přibližně 60 % tloušťky plechu.

Značný technologický význam při konstrukci střížných nástrojů má střížná výle, t.j. rozdíl mezi rozměry pracovních částí prostříhovače, na její velikosti závisí jakost výstřížku, trvanlivost lisovacího nástroje a spotřeba energie. Optimální velikost střížné výle je taková, při niž se setkají smykové trhliny - nástříhy vznikající na břitech průstřížníku a průstřížnice.

Určuje se dle vzorce :

$$v = 2 \left(1 - \frac{c_v}{100} \right) \cdot t_p \cdot \operatorname{tg} \beta \quad /mm/$$

kde v je střížná výle /mm/

c_v je poměrná hloubka vniknutí /%/

t_p je tloušťka plechu /mm/

β je úhel nástříhu /°/

Zjednodušeně ji lze určit

$$v = t_p \cdot x \quad /mm/$$

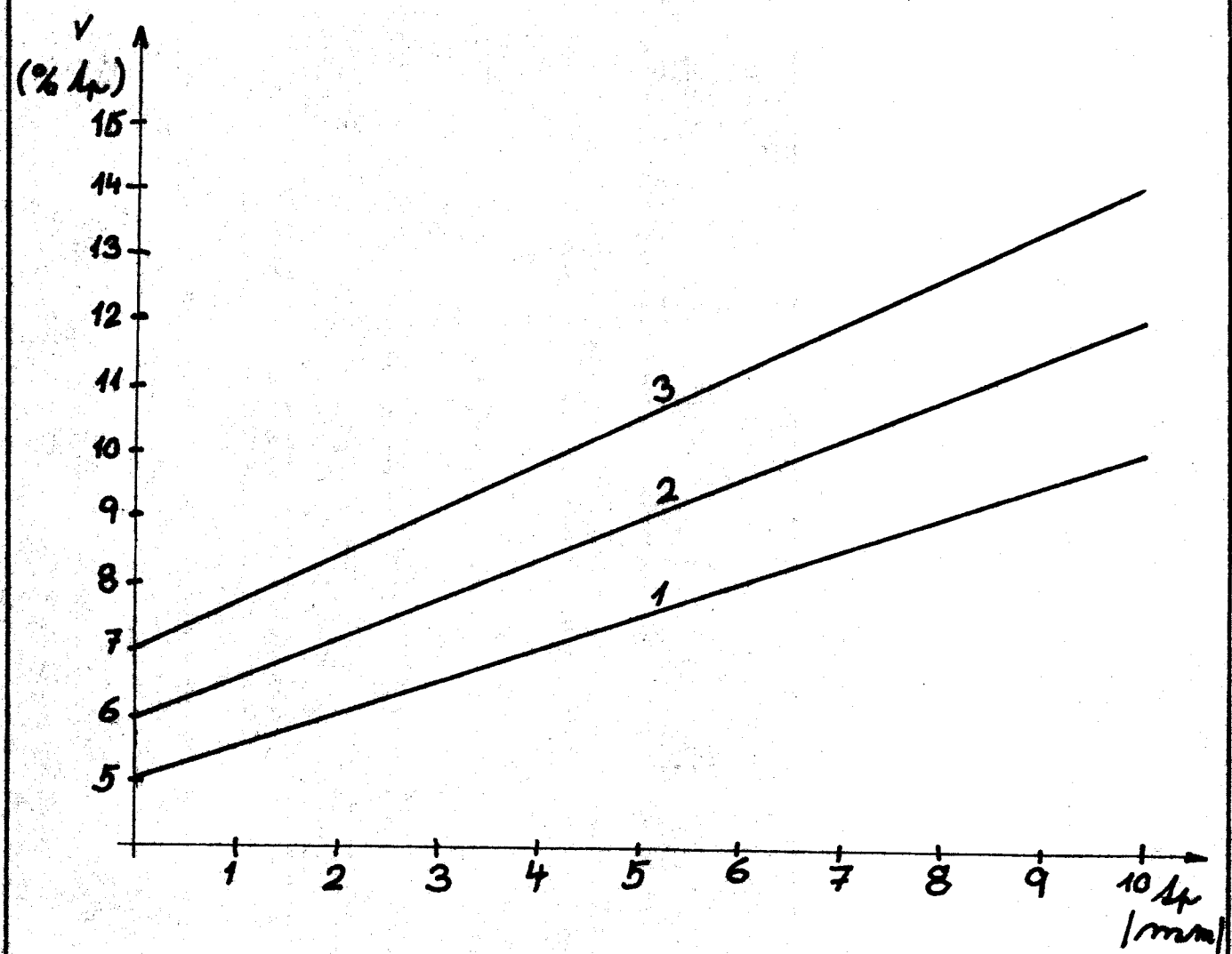
kde x je koeficient závislý na materiálu a je tabulován,

pro měkkou ocel 0,1 až 0,2 % C $x = 0,1$

středně tvrdá ocel 0,2 až 0,4 % C $x = 0,12$

tvrdá ocel 0,4 až 0,8 % C $x = 0,14$

anebo lze střížnou výli určit odečtením z následujícího grafu (obr. 17), kde je v závislostí v procentech tloušťky materiálu :



- 1 - měkká ocel
- 2 - středně tvrdá ocel
- 3 - tvrdá ocel

obr. 17

Při proštíkovaní je rozměr výstřížku shodný s rozměrem průštížnice. Vlivem opotřebení se jmenovitý rozměr průštížnice musí rovnat dolnímu neznámému rozměru výstřížku zvětšenému o 20 % rozsahu tolerančního pole výstřížku. U netolerovaných rozměrů součástí se jmenovitý rozměr průštížnice rovná jmenovitému rozměru výstřížku. Rozměry průštížníku jsou menší o stejnou výši než rozměry průštížnice. U děrování je tomu právě naopak.

Prostříhování výstřížku

$$D_m = d_v / \text{mm}$$

kde D_m je průměr průstřížnice /mm/

d_v je průměr výstřížku /mm/

$$d_p = D_m - 2v / \text{mm}/$$

kde d_p je průměr průstřížníku /mm/

Děrování

$$d_p = D_v / \text{mm}/$$

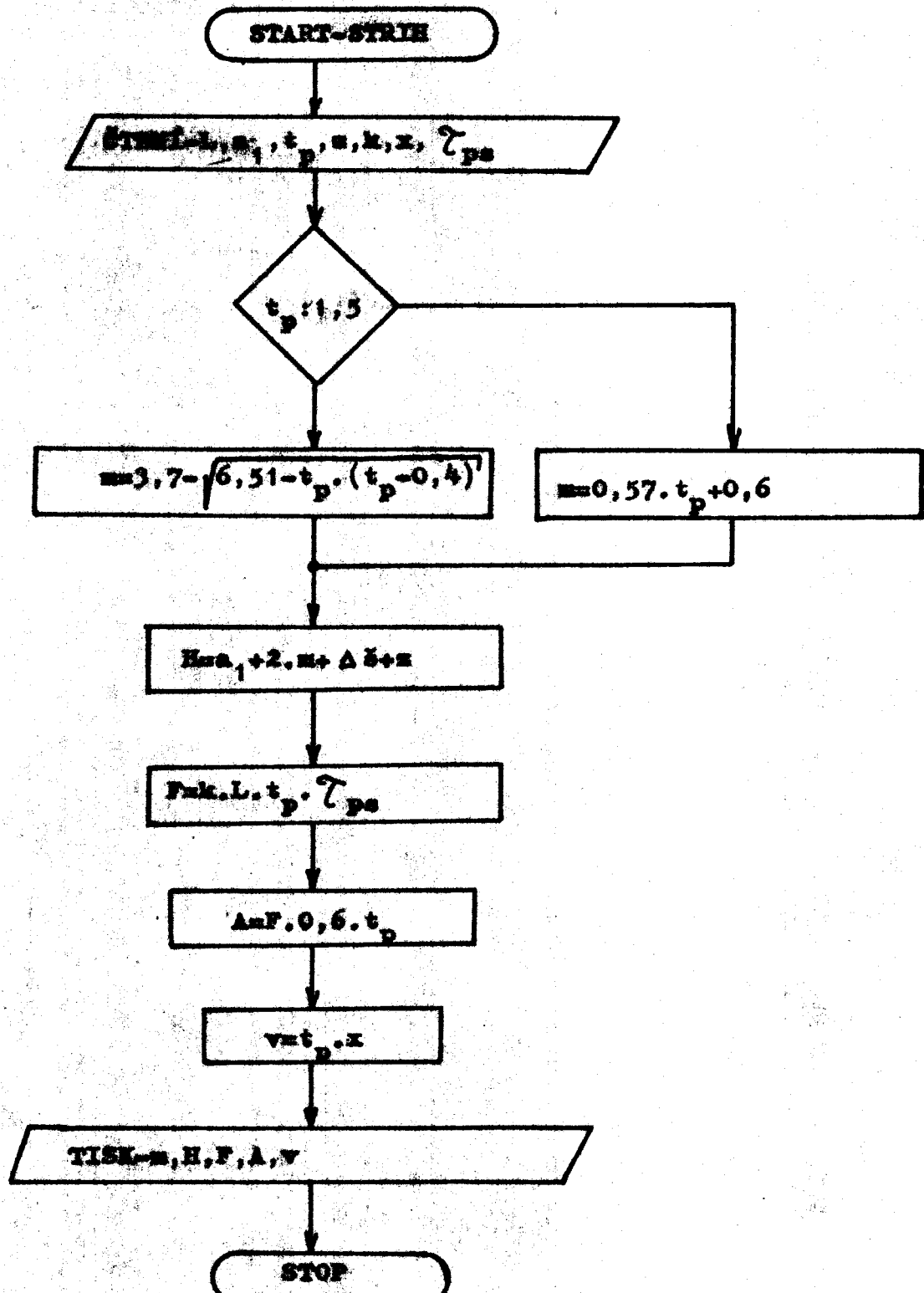
$$D_m = d_p + 2v / \text{mm}/$$

7.2 Využití samočinného počítače

při konstrukci střížného nástroje

Jak vyplývá z předchozajícího textu, je velmi důležitým úkolem, z hlediska růstu produktivity práce a úspory materiálu při procesu prostříhování, volba nástříhového plánu. Tuto činnost zatím nelze svěřit výpočetní technice, jelikož se jedná o operaci velice složitou a nelze ji proto snadno převést na analogickou návialest, která by mohla být samočinným počítačem zpracována. Tato operace by znamenala na počítači značnou spotřebu strojního času, zatímco zkušený konstruktér je schopen tuto operaci provést v krátkém čase, většinou v několika možných variantách, tyto umožňují použití vícenásobných nástrojů. Vícenásobné nástroje umožňují výrobu většího množství výrobků na jeden zdvih lisu, dekonalojší využití materiálu a neefektivní výrobního procesu.

Další část konstrukčního návrhu střížného nástroje tj. část výpočtovou lze na počítači spracovat poměrně snadno, protože se jedná o rutinní spracování empirických vztahů. Vývojový diagram znázorněn na obr. 18.



obr. 18

Na toto dále navazuje kreslení hlavních funkčních částí, tj. střížníku a střížnice, při konstruování kruhových střížníků je možné snadno navázat na výpočtový program, stejně jako při konstruování tažného nástroje. Při konstruování tvarových střížníků se jeví jako výhodnější, zadávání rozměru jako dat do samosatného nezivislého kreslicího programu. Na výpočtový program dále navazují programy pro přiřazení typizovaného stojánku výběrem ze zadané řady a výběr vhodného stroje, na které by bylo možno stříhání provádět, tj. výběr lisu ze zadané řady. V příloze je konkrétně upracován výpočtový program odpovídající obr. 18 a dále výkres a výpočet nástroje pro výstřídek, jehož tvar odpovídá obr. 16

8. Přiřazení typizovaného vodícího stojánku výběrem z řady

Přesnost výlisků a životnost lisovacího nástroje závisí do značné míry na přesném a tuhém vedení jeho obou základních částí. Tomuto požadavku lze nejlépe vyhovět, vestaví-li se nástroj do vodicích stojánek, které s sebou přinášejí i řadu dalších výhod.

Normalizované stojánky jsou zahrnuty v ČSN 22 6200. Normy uvádějí rozsáhlý sortiment vodicích stojánek v typech i v rozměrech, takže pro každý lisovací nástroj lze volit vhodný typ i velikost.

Vodící stojánky rozlišujeme podle tří hlavních hledisek :

- a) podle tvary pracovní plochy
- b) podle polohy vodicích sloupků vzhledem k pracovní ploše stojánku

c) podle materiálu základové a upínací desky

ad a) podle tvaru pracovní plochy :

- aa) s pracovní plochou čtvercovou
- ab) s pracovní plochou obdélníkovou
- ac) s pracovní plochou kruhovou

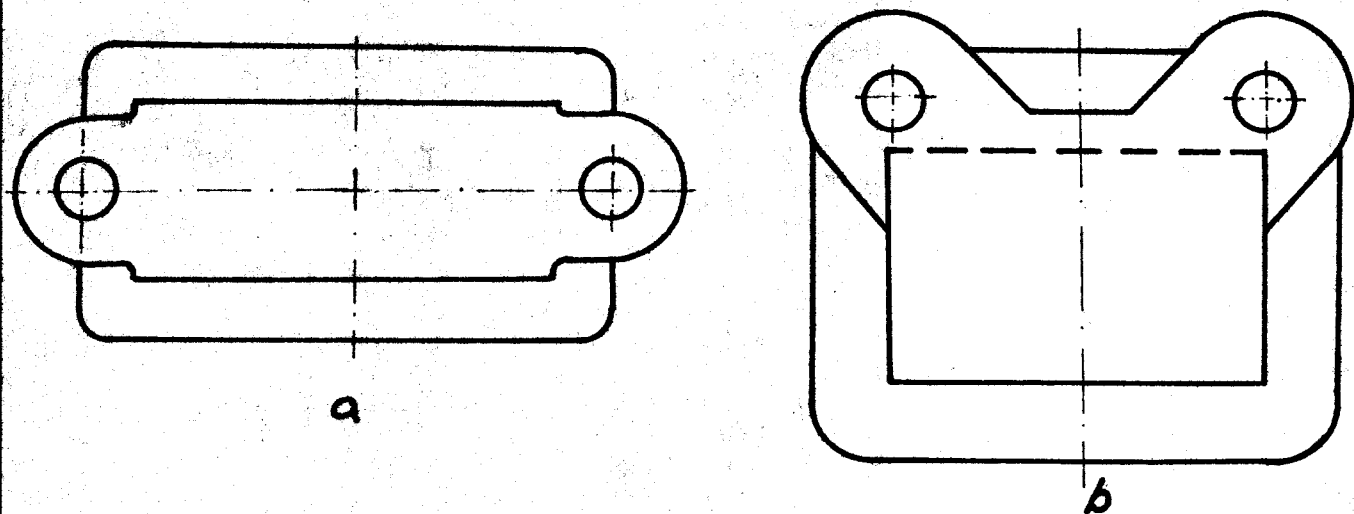
ad b) podle polohy vodicích sloupeků vzhledem k pracovní ploše :

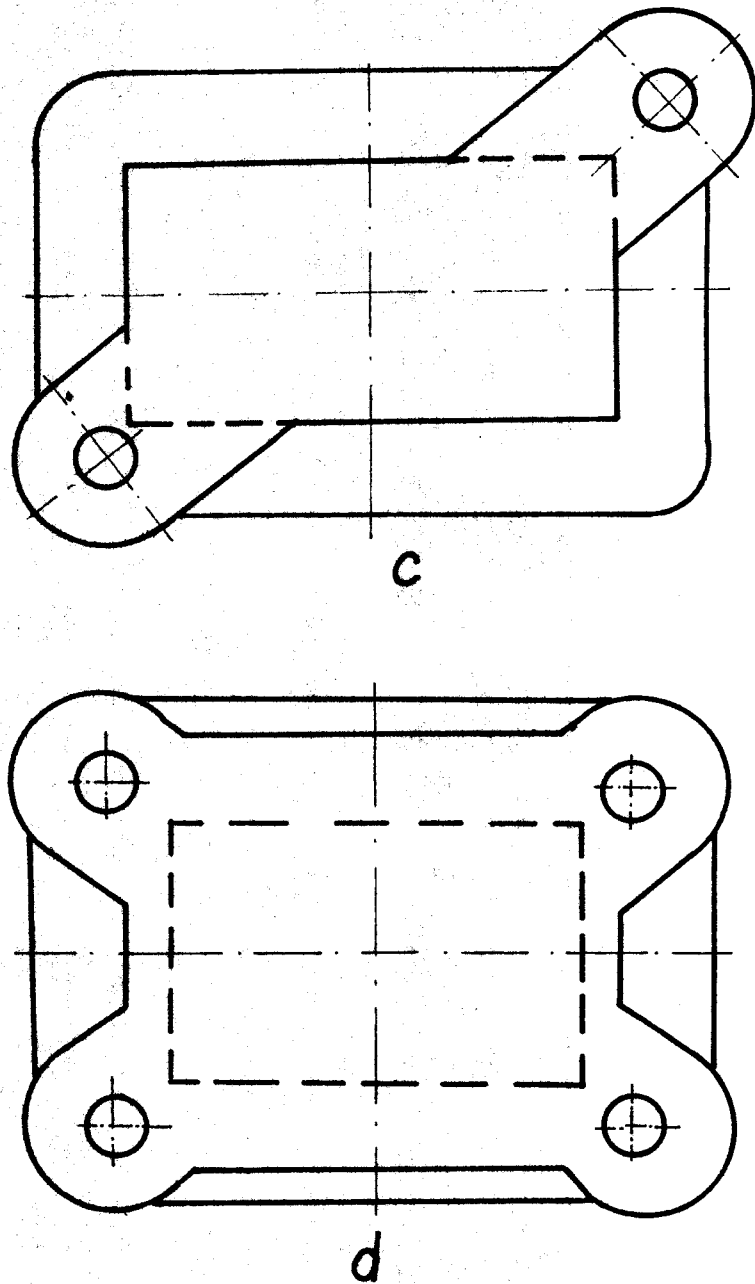
- ba) se sloupy v podélné ose
- bb) se sloupy za pracovní plochou
- bc) se sloupy v úhlopříčce pracovní plochy

ad c) se závitem na materiál základové a upínací desky se vyrábějí vodicí stojánky :

- ca) litinové
- cb) z oceli nebo odlitky
- cc) ocelové

Tvar a rozměry pracovní plochy ovlivňují použitelnost vodicího stojánku pro určitý druh a velikost lisovacího nástroje. Poloha vodicích sloupek vzhledem k pracovní ploše je ve čtyřech alternativních znázorněna na obr. 19.





obr. 19

Z důvodu toho, aby nedošlo k stranovému obrácení desek jsou symetrické druhy a), c), d) konstruovány s různým průměrem vodicích sloupků.

Směrnice pro použití různých typů stojánek se zřetelem na polohu vodicích sloupků, označení tetožné s obr. 19.

- a) Vodicí stojánky se sloupy v ose pracovní plochy. Používá se jich pro všechny druhy lisovacích nástrojů se zpracováním materiálu v pásu i pro vkládání výlisků, tj. pro jednotlivé lisovací operace. Správným umístěním se zřetelem na působiště lisovací sily, která má ležet v rovině os vodicích sloupek, lze dosáhnout přesného vyvážení. To má příznivý vliv na správnou funkci nástroje a jeho životnost.
- Pracovní plocha vodicího stojánku je dobré přistupná a lze ji snadno využít. Stojánek lze rychle upnout za upínací okraj základové, popřípadě upínací desky. Seřízení na lisu je velmi snadné a rychlejší než u nástroje bez stojánku.
- b) Vodicí stojánky se sloupy za pracovní plochou jsou vhodné pro nástroje, v nichž se budou zpracovávat široké pásy, tabule plechu nebo rozdílnější odpady dřeváním, stříháním, ostříháním, ohýbáním, tažením, ražením apod. Mají pracovní plochu zvláště dobré přistupnou ve srovnání se stojánky, které mají vodicí sloupy uspořádané v její ose nebo úhlopříčce. Částečnou nevýhodou je, že působiště lisovací sily leží mimo rovinu os vodicích sloupek. Tuto nevýhodu lze vyloučit správnou konstrukcí nástroje a hlavně umístěním upínací spojky do působiště lisovací sily. Přesto mají oba vodicí sloupy větší průměr než u vodicích stojánek stejné velikosti, ale jiného typu.
- c) Vodicí stojánky se sloupy v úhlopříčce pracovní plochy. Používá se jich s výhodou hlavně pro delší postupové nástroje a pro všechny ostatní druhy lisovacích nástrojů, jako prostříhovadla, ohýbadla, ramidla a nástroje tažné s malou kloubkou tahu. Umístění působiště sily do roviny os obou sloupek není obtížné, a proto můžeme nástroje snadno správně vyvážit. Průchod pásu nástrojem se volí podél i napříč dobré přistupné pracovní plochy.

d) Vodicí stojánky se čtyřmi vodicími sloupy. Jejich použití je vymezeno hlavně pro větší přesné nástroje s větší pracovní délkou, které vyžadují svážší spolehlivé vedení. Umístění vodicích sloupek zahrání plněmu využití pracovní plochy. Vzhledem k jejich symetrickému uspořádání lze snadno dosáhnout stability.

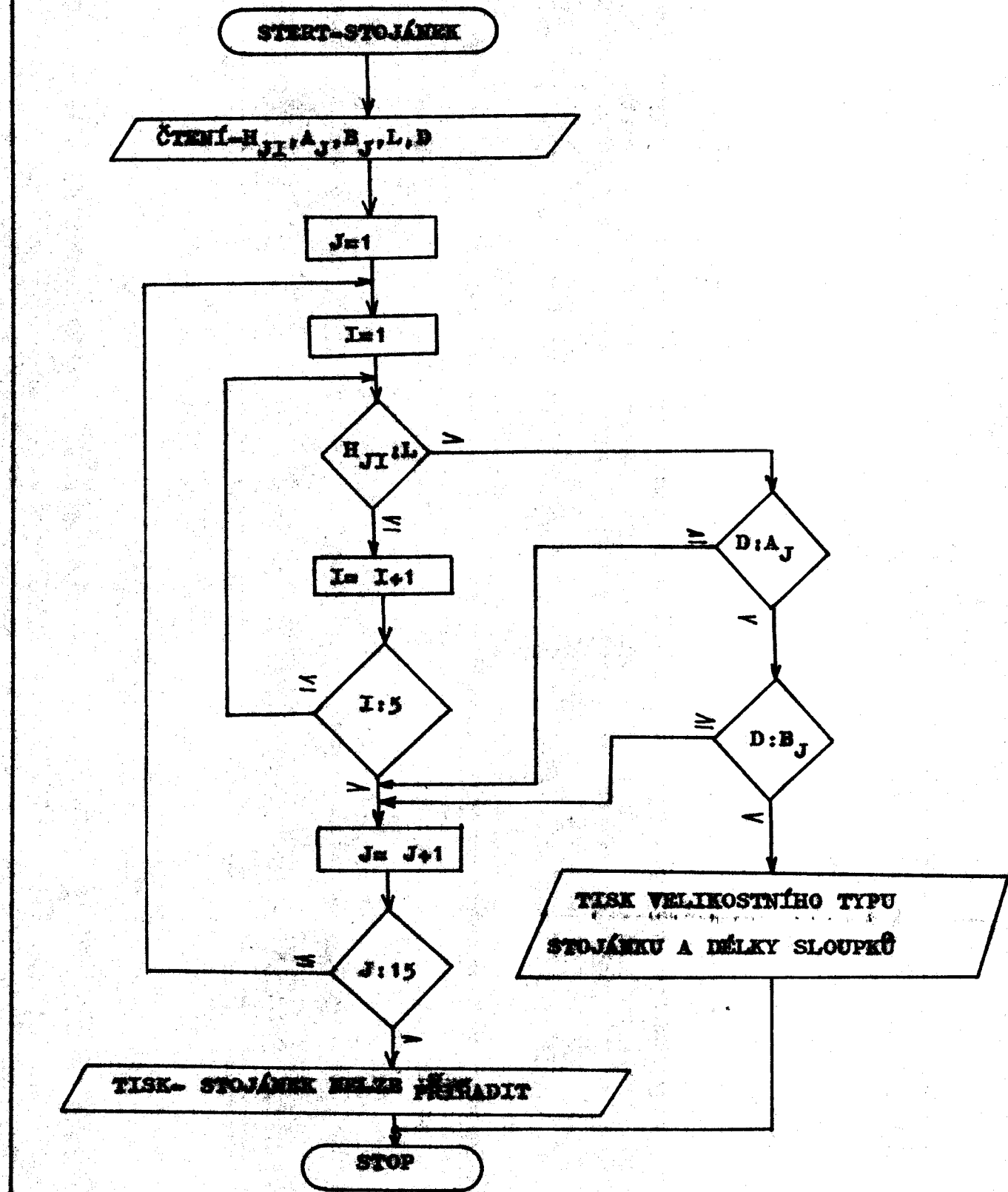
Pro aplikaci stříšních a tažních nástrojů jsem vybral stojánky se sloupy umístěnými v podélné ose pracovní plochy, odpovídající normě ČSN 22 6232, vyráběné v národním podniku Zbrojovka Brno. Stojánky jsou uspořádány v rozsárové řadě dle velikosti pracovní plochy. Řada obsahuje 15 velikostních typů od rozsahu pracovní plochy 100 x 80 mm až po velikost 500 x 400, každý velikostní typ dále obsahuje několik variant velikosti maximálního zdvihu v závislosti na délce vodicích sloupek.

Typová řada podle velikosti pracovní plochy je v tabulce I. a též velikostní řada podle délky sloupek.

| VELIK. | A | B | H ₁ | H ₂ | H ₃ | H ₄ | H ₅ |
|--------|-----|-----|----------------|----------------|----------------|----------------|----------------|
| 1 i | 100 | 80 | 82 | 92 | 107 | 122 | 162 |
| 2 i | 125 | 80 | 82 | 92 | 107 | 122 | 162 |
| 3 i | 125 | 100 | 84 | 99 | 114 | 154 | 194 |
| 4 i | 160 | 100 | 84 | 99 | 114 | 154 | 194 |
| 5 i | 160 | 125 | 95 | 110 | 150 | 170 | 190 |
| 6 i | 200 | 125 | 95 | 110 | 150 | 170 | 190 |
| 7 i | 200 | 160 | 105 | 145 | 165 | 185 | 185 |
| 8 i | 250 | 160 | 105 | 145 | 165 | 185 | 185 |
| 9 i | 315 | 160 | 140 | 160 | 180 | 180 | 180 |
| 10 i | 250 | 200 | 140 | 160 | 180 | 180 | 180 |
| 11 i | 315 | 200 | 140 | 160 | 180 | 180 | 180 |
| 12 i | 315 | 250 | 134 | 154 | 174 | 204 | 234 |
| 13 i | 400 | 250 | 134 | 154 | 174 | 204 | 234 |
| 14 i | 500 | 315 | 130 | 170 | 200 | 230 | 305 |
| 15 i | 500 | 400 | 130 | 170 | 200 | 230 | 305 |

tab.I

Výběr stojánku z této řady probíhá dle následujícího vývojového diagramu (obr. 20), výběr se provádí nejprve podle potřebné výšky stojánku, jež je většinou pro tažné nástroje rozhodující, pro nástroje střížné jsou většinou postačující stojánky základní řady a výběr podle pracovní plochy stojánku.



obr. 20

Porovnatelná hodnota délky L pro určení výšky stojánku určíme ze vztahu : pro střížné nástroje

$$L = L_{SA} + L_p + t_p + 10 \quad /mm/$$

kde L_S je délka střížníku $/mm/$

L_p je výška průstřížnice $/mm/$

t_p je tloušťka materiálu $/mm/$

pro tažný nástroj

$$L = l_{tn} + l_{tn} + h_{vn} + 5 \quad /mm/$$

kde l_{tn} je délka tažníku pro n -tu tažnou operaci $/mm/$

h_{tn} je výška tažnice pro n -tu tažnou operaci $/mm/$

h_{vn} je výška tažnice po n -té tažné operaci $/mm/$

V příloze je zpracován program výběru vodícího stojánku odpovídajícímu programu dle obr. 20 a dále výkres typového stojánku s rozmerovou tabulkou.

9. Volba tvářecího stroje

Máme-li navrhnout pro výrobu určité součásti vhodný tvářecí stroj, musíme uvažovat tyto hlavní činitely:

1. počet kusů
2. rozměry součásti resp. vodícího stojánku
3. tvářecí síly

Dále je třeba přihlíždět také k dalším podružným činitelům, které však mohou být za určitých okolností činiteli hlavními. Jsou to např. velikosti otvoru ve stole, počet zdvihů lisu, složení strojního parku, který je k dispozici atd. Počet kusů však většinou rozhoduje i o tom, jakého použijeme tvářecího

stroje.

Rozhodujícím kritériem pro volbu technologie je tedy pevnost opony nástroje k počtu výrobků, a tedy vlastní opona jednoho výrobku.. Je proto třeba napřed určit technologický postup, a potom volit vhodný lis. Při kontrole vhodnosti tvářecích strojů je nutno se především řídit dánji a pokyny, které uvádějí výrobce v průvodní dokumentaci (pasportech, návodech strojů).

Hlavními limitujicimi údaji pro volbu rozměru tvářecího stroje jsou následující rozměry, jež jsou uvedeny v rozměrové velikostní řadě v tabulce II.:

Jmenovitá síla /N/ je největší dovolená síla, kterou může být lis zatěžován.

Závěr /mm/ je dráha beranu mezi jeho úvratěmi.

Sevření /mm/ je vzdálenost mezi upínacími plechami stolu a beranu v jeho dolní úvratě.

Přestaviteľnost /mm/ je vzdálenost, o kterou lze zmanžít sevření.

Pracovní plocha stolu je určena k upnutí spodní části nástroje nebo upínací desky.

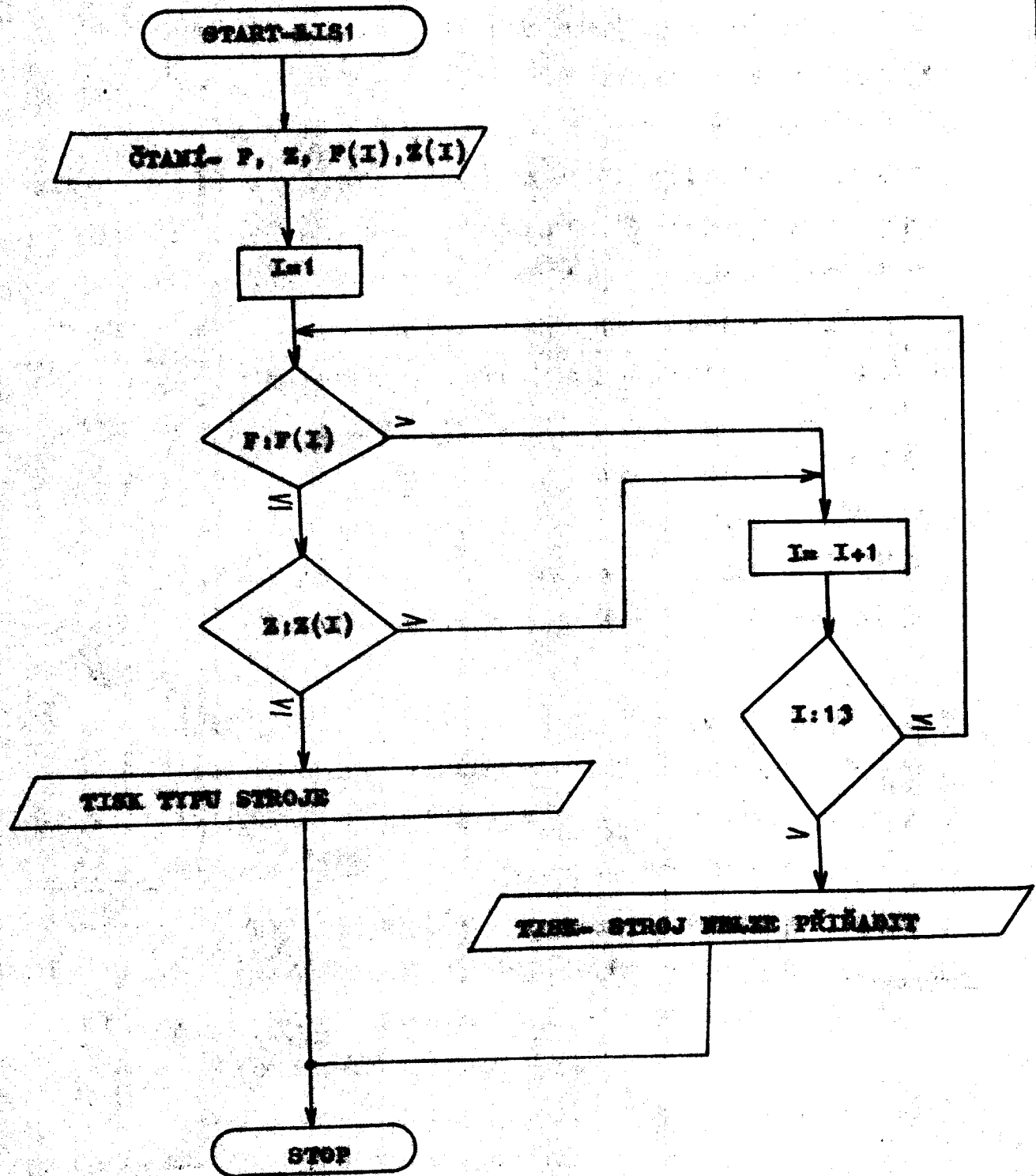
| označ. | typ lisu | síla j.m. /kN/ | zavírk. max. /mm/ | rozm. stolu /mm x mm/ | přestav. /mm/ | sevření /mm/ |
|--------|----------|-------------------|----------------------|--------------------------|------------------|-----------------|
| 1 | LEN 10 | 100 | 6 - 65 | 450 x 320 | 45 | 225 |
| 2 | LEN 25 | 250 | 8 - 85 | 560 x 450 | 55 | 265 |
| 3 | LEN 40 | 400 | 8 - 95 | 650 x 530 | 60 | 295 |
| 4 | LEN 63 | 630 | 10 - 105 | 800 x 630 | 70 | 335 |
| 5 | LEN 100 | 1 000 | 10 - 125 | 1000 x 640 | 90 | 380 |
| 6 | LU 100 | 1 000 | 200 | 570 x 620 | 100 | 460 |
| 7 | LUD 125 | 1 250 | 200 | 1580 x 530 | 110 | 500 |
| 8 | LU 160 | 1 600 | 250 | 620 x 610 | 110 | 555 |
| 9 | LUD 200 | 2 000 | 200 | 1220 x 630 | 110 | 480 |
| 10 | LU 250 | 2 500 | 315 | 720 x 790 | 130 | 562 |
| 11 | OTM 250 | 2 500 | 1 000 | 1250 x 1000 | 450 | 1 250 |
| 12 | OTP 250 | 2 500 | 2 600 | 980 x 1180 | - | 3 200 |
| 13 | OTM 400 | 4 000 | 1 250 | 1600 x 1100 | 560 | 1 600 |

tab. III

Pro výběr stojánku ze zadané řady jsou považována za hlavní kriteria, velikost potřebné tvářecí sily a velikost zdvihu. Při tvářecí operaci tažení se uvažuje, že dané mechanické lisy mají poměrně malý zdvih, takže se hodí zvláště pro malé tažení, kde se dá důležitě využít jejich jmenovitých parametrů. U hlubších tažů lze moždě použít pouze lisy vyššího rozsárového typu, kde je účinnost využití jejich jmenovitého výkonu poměrně malá. Pro tyto operace lépe využívat zvláště hlubokotažné hydraulické lisy, jejichž zdvih je dostatečně veliký, ale jejich sortiment je poměrně úzký a mají moždě zbytečně vysoké jmenovité hodnoty. Mechanické lisy mají mate široké možnosti uplatnění při tvářecí operaci stříhaní, kde se tváří malými zdvihy a proto je u nich využití jmenovitého výkonu stroje na vysoké úrovni.

Ve vývojovém diagramu obr. 21, je zpracován postup výběru vhodného tvářecího stroje z vybrané řady dle tabulky II, podle dvou základních kriterií tj. velikost potřebné tvářecí sily a velikost zdvihu. Uvažují se maximální možný zdvih jednoho lise, dle informací výrobce, u daných strojů využít. Výstředníkové zaklápací lisy typu LEM jsou vyráběny v různých modifikacích (jako posuvoběžné, vysokoběžné, s variátorom a dvourychlostní) podle potřeb výroby.

V příloze je vypodan program z počítače pro první fázi výrobu nástroje pro tažné operace.



obr. 21

10. Ekonomické zhodnocení prínosu výpočetní techniky v procesu konstruování

Při ekonomickém hodnocení racionalizace konstrukčních prací využitím výpočetní techniky vycházíme ze zcela specifických kriterií. Nemá zde zcela evidentní finanční přínos, neboť konstrukční náklady, v závislosti na zkušenostech konstruktéra, při použití samočinného počítadla několikrát převyšují náklady na konstrukci bez jejich použití. Zato je zde mimořádně důležitá časová úspora, která uvolňuje konstruktéra pro tvůrčí činnosti činnosti, nebo pro jiné oblasti výroby.

Jedna strojní hodina samočinného počítadla stojí přibližně 2700 Kčs. Jedna hodina práce konstruktéra hodnotíme přibližně mzdovými náklady ve výši 18 Kčs. Při konstruování takého měřítka mzdou zkušeným konstruktérem, nebo konstruování takého měřítka mzdou zkušeným konstruktérem, když je tato konstrukční činnost řídily jenom, tudíž mzdou specialistu v daném oahu, lze tuto činnost odhadnout náhruba na 12 + 16 hodin. Neboť mzdou velkou časovou strátu znamená prestudování odborné literatury, vyhledávání empirických vztahů a přípravování vhodného typizovaného stejníku a stroje dle příslušných katalogů. Když počítadlo tuto funkci, včetně mzdové dat, zvládne v čase přibližně 25 minut, s malou pravděpodobností chyb. Strojního času je zde přibližná spotřeba 10 min., a 15 minut uvažujeme na práci operátora při zadávání dat. Potom jsou přibližné náklady na jednu počítadlo, včetně mzdových nákladů operátora, náhruba 450 Kčs. Mzdové náklady konstruktéra činí přibližně 290 Kčs.

Potom je mít mít nákladů

$$\frac{450}{290} \cdot 100 = 155\%$$

a úspora času je

$$\frac{16,60}{25} \cdot 100 = 3,84\%$$

Při práci souběžného konstruktéra počítám se zvládnutím celé výpočetové části a části volby typizovaného vedeního stojánku a vhodného lisu z katalogu na dobu 5 hodin se mzdrovými náklady ve výši přibližně 90 Kčs.

Zvýšení nákladů při použití souběžného počítáče čini

$$\frac{450}{90} \cdot 100 = 500\%$$

a časová úspava je

$$\frac{5,60}{25} \cdot 100 = 1,200\%$$

I v tomto případě je patrná známa časová úspava při konstruování tažného nástroje pomocí souběžného počítáče, která umožňuje uvolnění konstruktéra pro tvrdou oblasti práce.

Při konstruování stříkacích nástrojů, je oblast využití počítaců oproti konstrukčním nástrojům pro tažení kruhových nádob, podstatně větší. Zde je tvrdou činnost konstruktéra nedílnou součástí konstruování stříkacích nástrojů, ale i zde je patrná časová úspava při provádění rutinních výpočtů použitím výpočetní techniky. Při práci souběžného konstruktéra využívají se zvládnutím výpočetové části konstrukce v čase 6 hodin se mzdrovými náklady konstruktéra přibližně 18 Kčs. Zatímco počítání tuto práci zvládne, včetně času operátora při zadávání dat, během 23 minut, s náklady shruba 350 Kčs. Potom je nutné řešit finančních nákladů

$$\frac{350}{100} \cdot 100 = 350\%$$

a časová úspava

$$\frac{6,60}{25} \cdot 100 = 1,565\%$$

Při práci minimálněho konstruktéra se tento návrh dá zvládnout během 2,5 hodiny se můdovými náklady 45 Kčs. Potom nárůst finančních nákladů činí

$$\frac{350}{45} \cdot 100 = 780\%$$

a časové úspory činí

$$\frac{2,5 \cdot 60}{25} \cdot 100 = 650\%$$

Další nárůst časové úspory je možný, využitím kreslicího stolu DIGIDRAF při kreslení výrobních výkresů tažných a stržívacích nástrojů, může zhotovení a roznožení typových výkresů tvarově podobných součástí se slepými kótami, kam by se doplnovaly rozměry vypočtené samodějným počítacem.

Byle by však z ekonomického hlediska možné se posunout nad posloupně uvedeným nárůstem finančních nákladů při využití výpočetní techniky. Jistě však je, že faktická hodnota tvůrčího času konstruktéra podstatně převyšuje výši nominálních můdových nákladů tj. 18 Kčs za jednu hodinu práce konstruktéra.

Závěrem je možné shrnout, že ekonomický přínos výpočetní techniky do procesu konstrukování tvářecích nástrojů je vysoký a hledáním maximální úspory času konstrukce, odstraňním možnosti vzniku chyb ve výpočtu a návrhu, a malým nárůstem finančních nákladů, které zahrnuje rozdíl mezi sítětočnou hodinou času a nominální čase jedné hodiny tvůrčí práce konstruktéra. V nejzadnejší řadě je možné využít při takovémto uplatnění konstrukování pomocí samodějněho počítacího i méně kvalifikovaného mladého pracovníka konstrukce, neboť tato by se cínila v konečné podobě na zadávání vstupních dat samodějnemu počítaci.

11. Závěr

V diplomové práci jsem se zabýval problémem racionalizace konstrukčních prací využitím výpočetní techniky. Rationalizace se specifikovala do oblasti návrhu tažných a střížných nástrojů, s následnou volbou vhodných vodicích stojánek a tvářecích strojů, vyráběných v ČSSR a odpovídajících normám ČSN.

V první fázi jsem provedl teoretickou studii a provedl teoretický návrh výpočtu tažného a střížného nástroje a upracoval kriteria volby vodicích stojánek a tvářecích strojů. Ve druhé fázi jsem na teoretickou část navázal vypracováním nejméně programu výpočtu tažného a střížného nástroje. Programovou stavbu tažného nástroje jsem převzal z dodatku k diplomové práci J. Štrika. K tomuto jsem vybral řadu vhodných vodicích stojánek z katalogu lisovacích nástrojů od N. P. Zbrojovka Brno a sestavil program výběru vhodného vodicího stojánku z dané řady. Konkrétní upracování jsem provedl jako samostatný program a tím, že jsem provedl výběr pouze vodorovné vodicí stojánky pro 1. tah tažného nástroje. V následném upracování je možné zařadit tento program do obou hlavních programů výpočtu tažného resp. střížného nástroje jako podprogram, čímž by v celém komplexu k výběru vodicího stojánku spolu s výpočtem parametrů nástrojů. Totož platí i o výběru lisovacího stroje z dané řady. Výběr vhodných lisovacích strojů z katalogu "Tvářecí stroje" jsem omnil velikosti tvářecí sily 5 000 Nm, poslední 3 stroje dané řady jsou hlubokotažné hydraulické lisy vhodné pro tažení hlubokých nádob. V příloze diplomové práce jsem provedl praktický výpočet

lisovacích nástrojů podle obecného postupu pro ověření správnosti výpočtu má na výstupu z počítače a pro posouzení doby potřebné na nových lisovacích nástrojů ručně a pomocí běžných výpočetních programů, jako je kalkulačka. Z provedeného vyhodnocení vyplývá, že se oba dnyky výpočtu v podstatě shodují, což vklahuje na vhodnost vypracovaných programů při použití v mávku tažných a stříškových nástrojů. Dále jsem v příloze vypracoval výrobni výkresy tažníků a tažnic resp. stříšníků a stříšnice, jichž se může, po vymazání kódů, použít jako typových výkresů, tvarově podobných součástí, se slevými kódami. A nakonec je v příloze obsažen výkres vedeního stejánku s rozšířenou tabulkou.

Funkce konstruktéra, s vlivem těchto programů, se přesouvá do oblasti zadávání dat součinnému počítači a kreslení výrobních výkresů nástrojů, na tyto programy je možné dále navázat vytvořením kreslicích programů pro kreslicí stříši DIGIGRAPH, který zatím v tomto úkoliném rese nebyl ve škole k dispozici.

12. Použitá literatura

1. J. ŠPAK : Dodatek k diplomové práci.
CVUT Praha 1981
2. P. POKORNÝ : Využití SAPO v konstrukci a výrobě
čloupcových tvarek
výrobní správa, VŠST Liberec 1980
3. MUDRÁČEK, KOMORNÍK, ČECH : Lisevací a tříšení
SNTL, Brno 1965
4. P. KOMORNÍK : Konstrukce tvárcích strojů
Skripta, VUT Brno
5. Katalog lisevacích nástrojů N.P. Zámejovského Brno
6. R. HÝSKA : Tvrací stroje
SNTL Praha 1980

Děkuji vám, že jste se podíleli na mé odborné výuce
při spracování této diplomové práce a jsem rád
vám uvedu v oboumístním diplomovém práci ing. Přemyslu Pokornému.

PŘÍLOHA DIPLOMOVÉ PRÁCE

Vedoucí diplomové práce:
Ing. Přemysl Pokorný

Diplomant:
Karel Kerda

ÚVOD:

Obsahem této přílohy je manuální návrh tažného resp. stříšného nástroje, dle algoritmu uvedeného v popisné části. Výpočet se provádí k ověření správnosti výsledků vypočítaných na počítači a posouzení nutného času na konstruování tažného resp. stříšného nástroje konstruktérem při použití literatury a běžné ruční kalkulačky.

VÝPOČET TAŽNÉHO NÁSTROJE:

Zadané údaje: průměr výtažku $d_v = 60\text{mm}$
výška výtažku $h_v = 60\text{mm}$
základna dna $r_d = 10\text{mm}$
tloušťka plechu $t_p = 1\text{mm}$
materiál ocel 11 305.21

Určení velikosti přistříku:

$$D_{x_1} = \sqrt{d_v^2 + 4r_d(h_v + 0,506r_d)} = \sqrt{60^2 + 4 \cdot 60(60 + 0,506 \cdot 10)} = 136,62\text{mm}$$

Zvětšení o přídavek na ostřížení:

$$D_x = D_{x_1} + 5 = 136,62 + 5 = 141,62\text{mm} \Rightarrow \text{volím } D_x = 142\text{mm}$$

Určení nutnosti použití přidržovače:

$$h_v = 0,3 \sqrt{d_v} \cdot \sqrt{t_p} = 0,3 \sqrt[3]{60} \cdot \sqrt{1} = 1,17 \Rightarrow \text{musí být použito přidržovače}$$

Určení počtu tažných operací:

pro hodnoty koeficientu tažení $m_1 = 0,502$ a $m_2 = 0,583$:

$$d_1 = m_1 \cdot D_x = 0,502 \cdot 142 = 71,3\text{mm}$$

$$d_2 = m_2 \cdot D_x = 0,583 \cdot 142 = 82,6\text{mm}$$

výtažek bude zhotoven na 2 tažné operace

Výpočet rozměrů tažníků:

1. tah: délka tažníku:

$$l_{t1} = \frac{D}{4} \cdot (1 - K_1^2) + 50 = \frac{142}{4} \cdot (1 - 0,502^2) + 50 = 76,6 \text{ mm} = l_{t1} = 80 \text{ mm}$$

průměr tažníku:

$$d_{t1} = 75 \text{ mm}$$

rádius tažníku:

$$r_{t1} = r_d + 5 = 10 + 5 = 15 \text{ mm}$$

2. tah: délka tažníku:

$$l_{t2} = \frac{1}{4} \cdot (D^2 - d^2) + 50 = \frac{1}{4 \cdot 60} \cdot (142^2 - 60^2) + 50 = 119 \text{ mm} = l_{t2} = 120 \text{ mm}$$

průměr tažníku:

$$d_{t2} = 58 \text{ mm}$$

rádius tažníku:

$$r_{t2} = 9 \text{ mm}$$

Výpočet tažné vále:

pro 1. tah: $K_1 = 0,3$

$$m_{t1} = K_1 \cdot t_p + t_p = 0,3 \cdot 1 + 1 = 1,3 \text{ mm}$$

průměr tažnice:

$$D_1 = d_{t1} + 2 \cdot m_{t1} = 75 + 2 \cdot 1,3 = 77,6 \text{ mm}$$

pro 2. a další tahy: $K_2 = 0,2$

$$m_{t2} = K_2 \cdot t_p + t_p = 0,2 \cdot 1 + 1 = 1,2 \text{ mm}$$

průměr tažnice:

$$D_2 = d_{t2} + 2 \cdot m_{t2} = 58 + 2 \cdot 1,2 = 60,4 \text{ mm}$$

Výpočet poloměru tažné hrany:

pro 1. tah:

$$R_1 = 0,8 \sqrt{(D_r - D_1) - t_p} = 0,8 \sqrt{(142 - 95) \cdot 1} = 5,5 \text{ mm} \pm 6 \text{ mm}$$

pro 2. tah: $R_2 = 8 \cdot t_p = 8 \cdot 1 = 8 \text{ mm}$

výpočet rozměrů tažnice:

výška tažnice:

$$A_1 = h_{v1} + 20 = 26,6 + 20 = 46,6 \text{ mm} \Rightarrow A_1 = 47 \text{ mm}$$

$$A_2 = h_{v2} + 20 = 69 + 20 = 89 \text{ mm} \Rightarrow A_2 = 90 \text{ mm}$$

kloubka osazení pro vyhazovač:

$$B_1 = A_1 - (R_1 + 5) = 47 - (6 + 5) = 36 \text{ mm}$$

$$B_2 = A_2 - (R_2 + 5) = 90 - (8 + 5) = 77 \text{ mm}$$

průměr osazení pro vyhazovač:

$$E_1 = D_1 + 10 = 77,6 + 10 = 87,6 \text{ mm} \Rightarrow E_1 = 90 \text{ mm}$$

$$E_2 = D_2 + 10 = 60,2 + 10 = 70,2 \text{ mm} \Rightarrow E_2 = 70 \text{ mm}$$

vnější průměr tažnice:

$$F_1 = D_x = 142 \text{ mm}$$

$$F_2 = 2 \cdot D_x = 2 \cdot 60,2 = 120,4 \text{ mm}$$

výpočet velikosti sil na provedení tažných operací:

výpočet plochy přidržovače:

$$S_1 = \frac{\pi / 4 \cdot D_{t1}^2 - (d_{t1} + 2 \cdot r_{t1})^2 /}{4000000} = \frac{\pi / 4 \cdot 142^2 - (75 + 2,15)^2 /}{4000000} = 7,18 \cdot 10^{-3} \text{ m}^2$$

$$S_2 = \frac{\pi / 4 \cdot (d_{t2} + r_{t2})^2 - d_{t2}^2 /}{4000000} = \frac{\pi / 4 \cdot (58 + 9)^2 - 58^2 /}{4000000} = 8,84 \cdot 10^{-4} \text{ m}^2$$

výpočet síly přidržovače při tlaku PMP=3MPa

$$F_{p1} = S_1 \cdot PMP = 7,18 \cdot 10^{-3} \cdot 3 \cdot 10^6 = 21,5 \cdot 10^3 \text{ N} = 21,5 \text{ kN}$$

$$F_{p2} = S_2 \cdot PMP = 8,84 \cdot 10^{-4} \cdot 3 \cdot 10^6 = 2,6 \cdot 10^3 \text{ N} = 2,6 \text{ kN}$$

výpočet tažné síly při km=0,75.300 /MPa/

$$F_{t1} = \pi \cdot d_{t1} \cdot t_p \cdot km = \pi \cdot 75 \cdot 1 \cdot 0,75 \cdot 300 = 53 \text{ kN}$$

$$F_{t2} = \pi \cdot d_{t2} \cdot t_p \cdot km = \pi \cdot 58 \cdot 1 \cdot 0,75 \cdot 300 = 41 \text{ kN}$$

výpočet celkové tažné síly:

$$F_{tc1} = F_{p1} + F_{t1} = 21,5 + 53 = 74,5 \text{ kN}$$

$$F_{te2} = F_{p2} + F_{t2} = 2,6 + 41 = 43,6 \text{ kN}$$

výpočet tažné práce:

$$\Delta_{t1} = 0,7 \cdot F_{te1} \cdot h_{v1} = 0,7 \cdot 74,5 \cdot 10^3 \cdot 26,6 \cdot 10^{-3} = 1387 \text{ J}$$

$$\Delta_{t2} = 0,7 \cdot F_{te2} \cdot h_{v2} = 0,7 \cdot 43,6 \cdot 10^3 \cdot 69 \cdot 10^{-3} = 2106 \text{ J}$$

Přiřazení typizovaného stojánu:

počadovaná světlost stojánku:

$$H_1 = A_1 + l_{t1} + 10 = 47 + 80 + 10 = 137 \text{ mm}$$

$$H_2 = A_2 + l_{t2} + h_{v1} + 5 = 90 + 120 + 26,6 + 5 = 241,6 \text{ mm}$$

Pro první tah volím stojánek velikostního typu 7.1
výrobní označení: 416 961 112 400 ČSN 22 6232 se sloupy
délky 180mm

Pro druhý tah volím stojánek velikostního typu 14.5, vzhledem
k velké délce zdvihu.

výrobní označení: 416 961 112 700 ČSN 22 6237 se sloupy
délky 355mm

Přiřazení vhodného stroje:

určení velikosti zdvihu:

$$z_{1sh} = h_{v1} + (A_1 - B_1) + 3 = 26,6 + (47 - 36) + 3 = 40,6 \text{ mm}$$

$$z_{2sh} = h_{v2} + h_{v1} + (A_2 - B_2) + 3 = 69 + 26,6 + (90 - 77) + 3 = 111,6 \text{ mm}$$

Pro první tah volím tvářecí stroj LHM 10.

Pro druhý tah volím tvářecí stroj LHM 100 vzhledem k délce
zdvihu.

VÝPOČET STŘÍŽNÉHO NÁSTROJE:

tvor výstříku odpovídá obr. 16 dle popisné části

Zadané údaje: rozměry $a_1=80\text{mm}$ $a_2=20\text{mm}$ $a_3=25\text{mm}$
 $a_4=20\text{mm}$ $a_5=40\text{mm}$

tloušťka plechu $t_p=1\text{mm}$

bouzdro na preštížení $k=2$

materiálový koeficient $\alpha=0,12$

minimální výšce mezi lištou a pásem $x=1\text{mm}$

materiál 11 370 $\sigma_{ps}=210\text{MPa}$

velikost minimálního můstku:

$$m=3,7-\sqrt{6,51-t_p \cdot (t_p-0,4)}=3,7-\sqrt{6,51-1(1-0,4)}=1,25\text{mm}$$

vzdálenost mezi lištami:

$$B=a_1+2 \cdot m+a_2+2 \cdot a_3+2 \cdot a_4+2 \cdot a_5=80+2 \cdot 1,25+2 \cdot 20+2 \cdot 25+2 \cdot 20+2 \cdot 40=410\text{mm}$$

potřebná síla na preštížení:

$$F_{pB} \cdot t_p \cdot \sigma_{ps} \cdot k=0,41 \cdot 10^{-3} \cdot 210 \cdot 10^6 \cdot 2=172,2 \cdot 10^3 \text{N}=172,2\text{kN}$$

práce na preštížkování:

$$A \cdot F \cdot 0,6 \cdot t_p=172,2 \cdot 10^3 \cdot 0,6 \cdot 1 \cdot 10^3=103,3\text{J}$$

určení optimální střížné výlo:

$$v=t_p \cdot x=1,0,12=1,12\text{mm}$$

výpočet rozměrů střížníku a průštížnice: $a_m \dots$ průštížnice

$a_p \dots$ střížník

$$a_{p1}=a_1-2 \cdot v=80-2 \cdot 0,12=79,76\text{mm}$$

$$a_{m1}=a_1=80\text{mm}$$

$$a_{p2}=a_2-2 \cdot v=20-2 \cdot 0,12=19,76\text{mm}$$

$$a_{m2}=a_2=20\text{mm}$$

$$a_{p3}=a_3=25\text{mm}$$

$$a_{m3}=a_3+2 \cdot v=25+2 \cdot 0,12=25,24\text{mm}$$

$$a_{p4}=a_4=20\text{mm}$$

$$a_{m4}=a_4+v=20+0,12=20,12\text{mm}$$

$$a_{p5}=a_5=40\text{mm}$$

$$a_{m5}=a_5+v=40+0,12=40,12\text{mm}$$

přiřazení typizovaného stojánku:

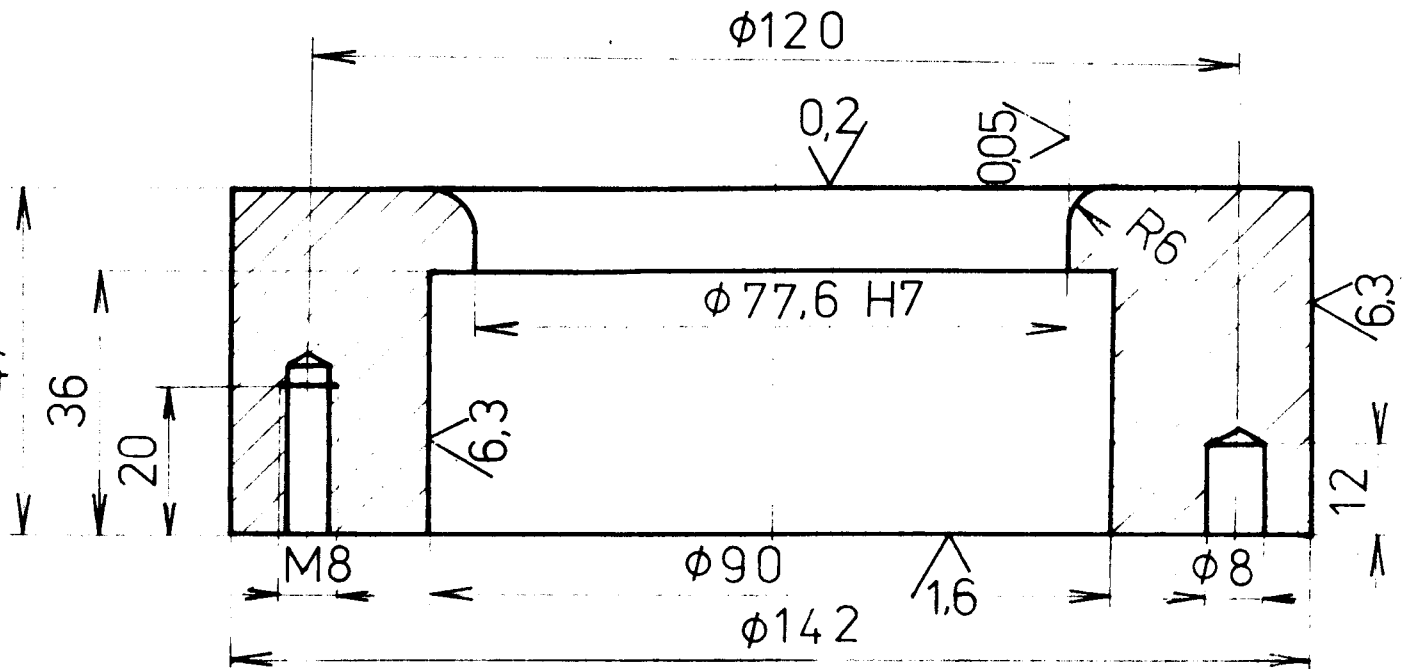
přiřazení stojánku je u střížného nástroje limitováno velikostí výstřížku, proto pro daný střížný nástroj volím velikostní typ stojánku 3.2

výrobní označení: 416 961 112 200 ČSN 22 6232 se základní délkou vodících sleupkou

Přiřazení tvářecího stroje:

volím tvářecí stroj LHM 25

1,6 (6,3 , 0,2 , 0,05)



KALIT HRC 60-2

$\phi 142$ 47
19 312.9

KERDA

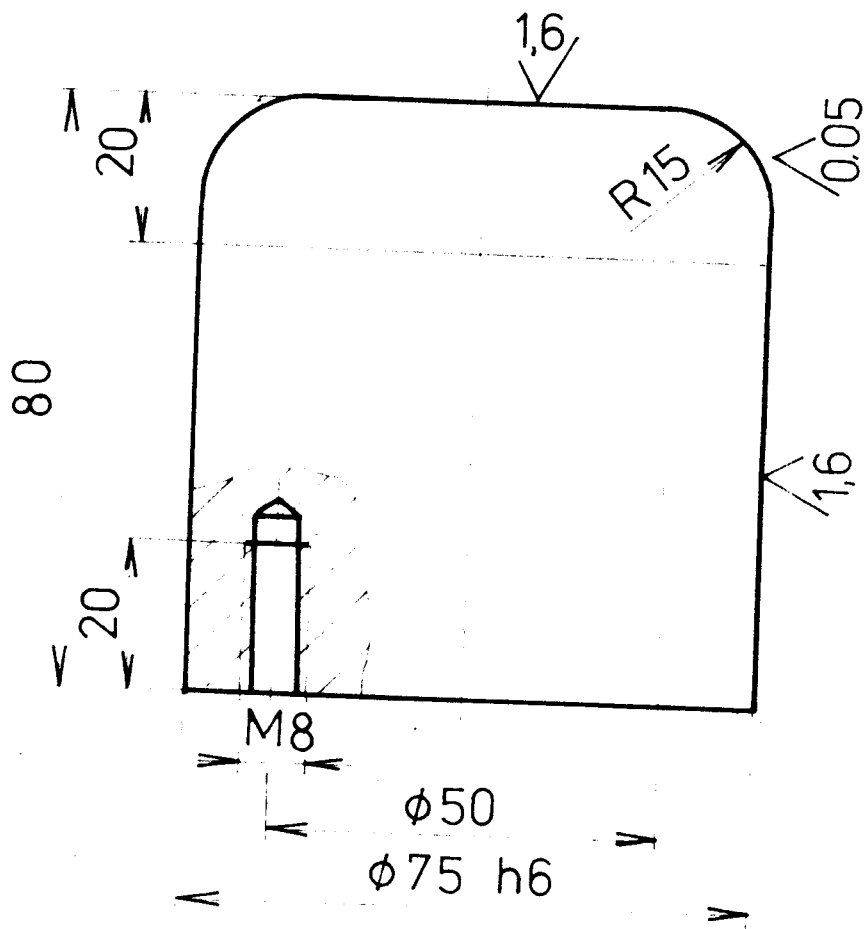
1:1

4.6.1982

TAŽNICE

4-KOM-OS-016/01-02

1,6 (0,05)



CEMENTOVAT DO HL. 0,5 mm
Ø75 - 80
19 312.9

KALIT HRC 60-2

KERDA

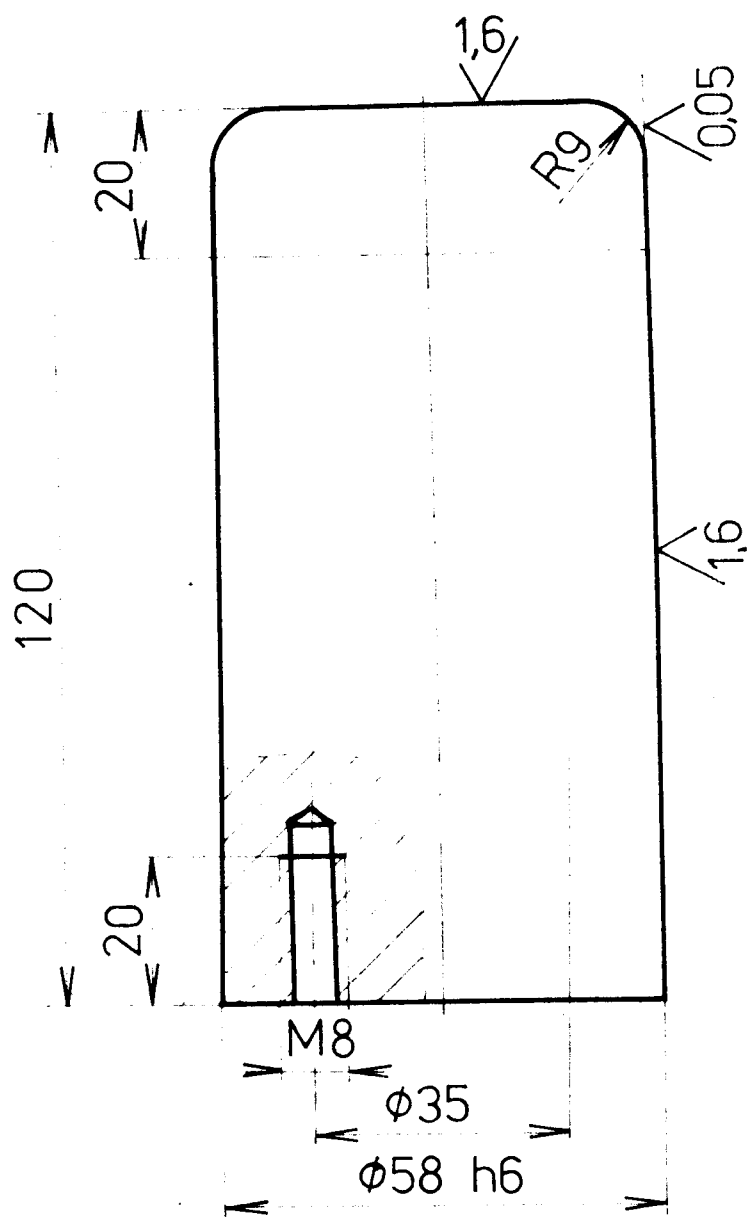
1:1

4.6.1982

TAŽNÍK

4-KOM-OS-016/01-01

1,6 (0,05)



CEMENTOVAT DO HL. 0,5 mm KALIT HRC 60-2
Ø60 - 120 . 19.312.9

KERDA

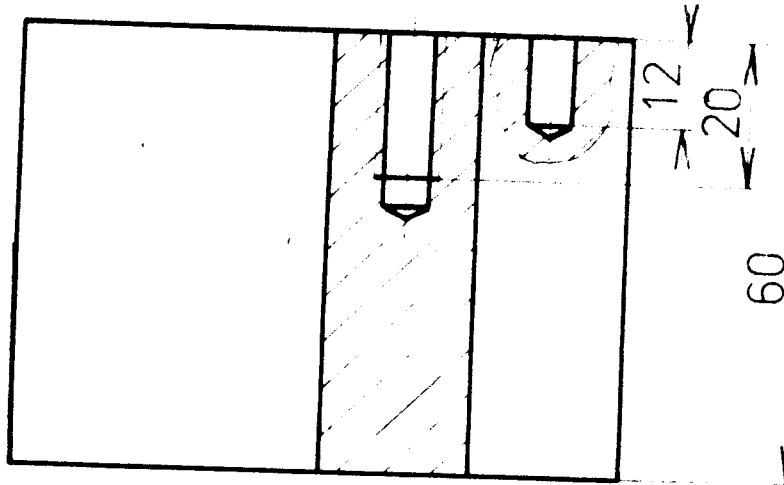
1:1

4.6.1982

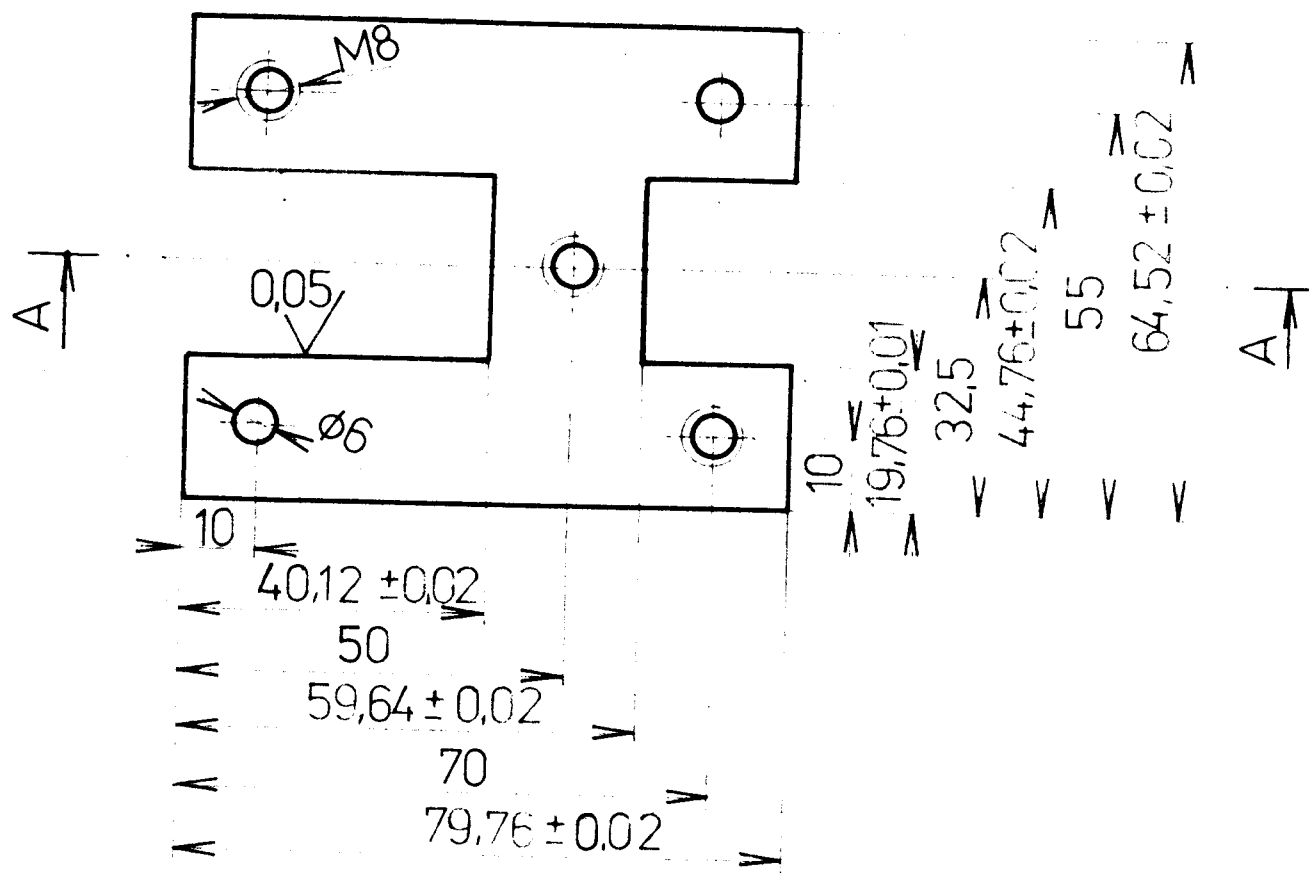
TAŽNÍK

4-KOM-OS-016/02-02

REZ-A-A



1.5 ✓ (0.05) ✓



CEMENTOVAT DO HL. 0,5mm KALIT HRC 60-2
80x65-60

KERDA

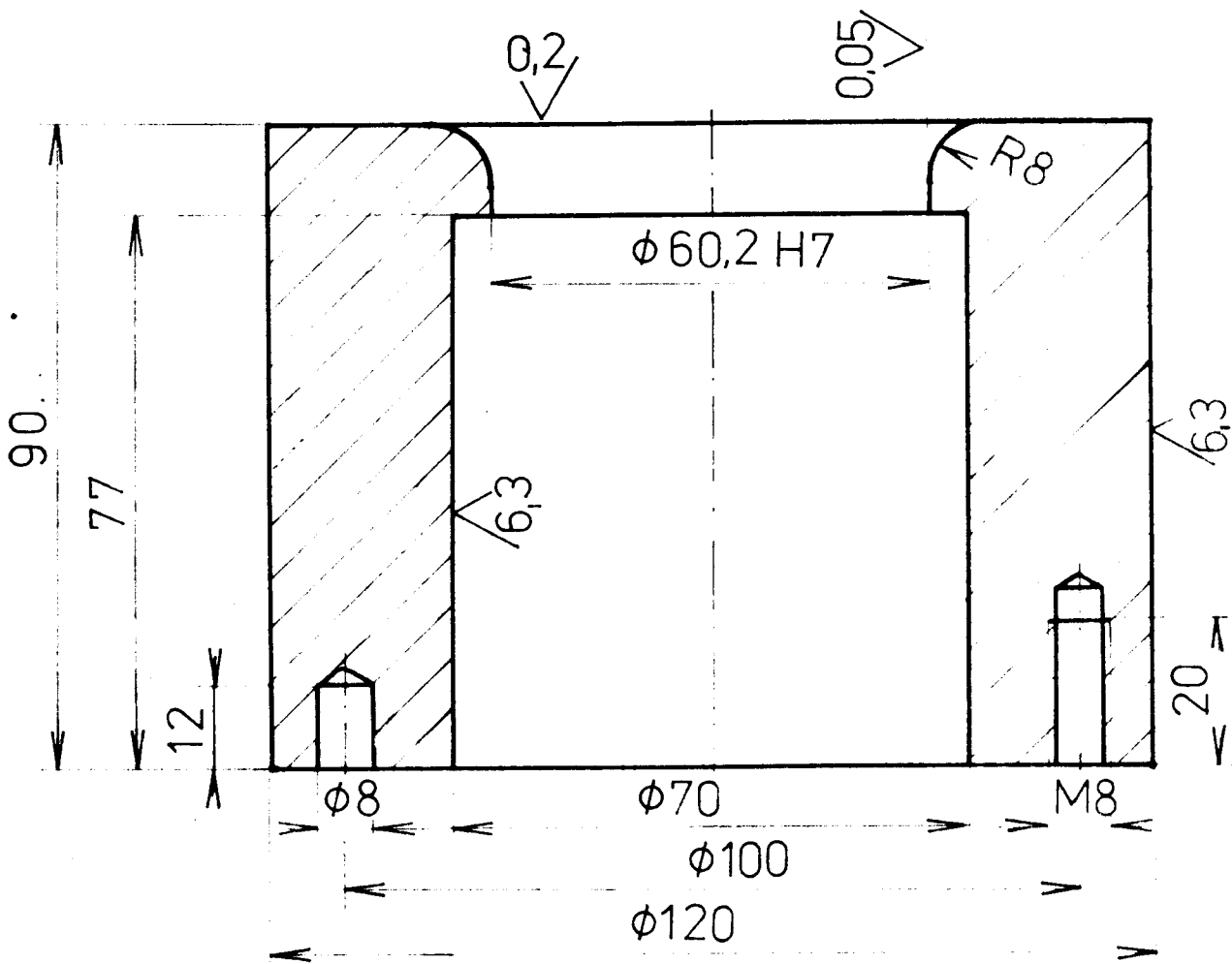
1:1

4.6.1982

STRŽNÍK

4-KOM-OS-016/03-01

1,6 ✓ (5,3 ✓ , 0,2 ✓ , 0,05 ✓)



KALIT HRC 60-2

φ120-90

19 312.9

KERDA

1:1

4.6.1982

TAŽNICE

4-KOM-OS-016/02-02